

2018

Weekly / Semanal **Influenza Report EW 16/ Reporte de Influenza SE 16**

Regional Update: Influenza & Other Respiratory Viruses /
Actualización Regional: Influenza y Otros virus respiratorios



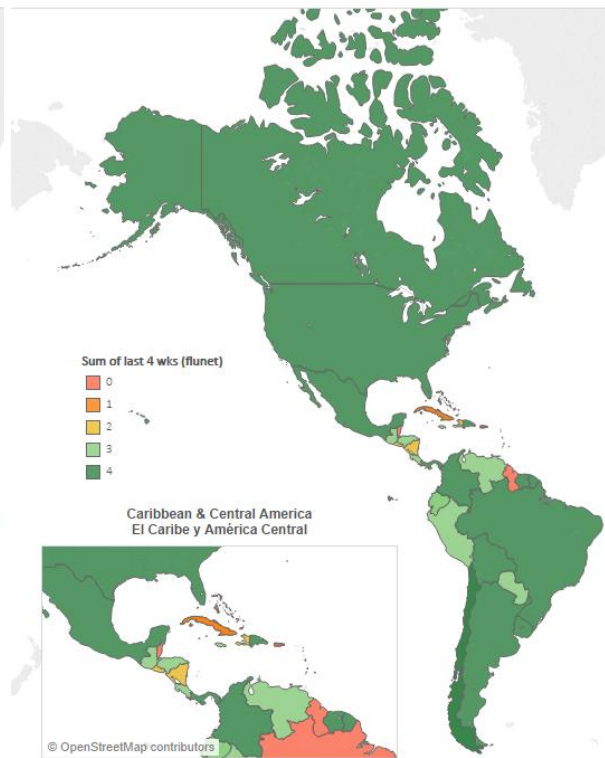
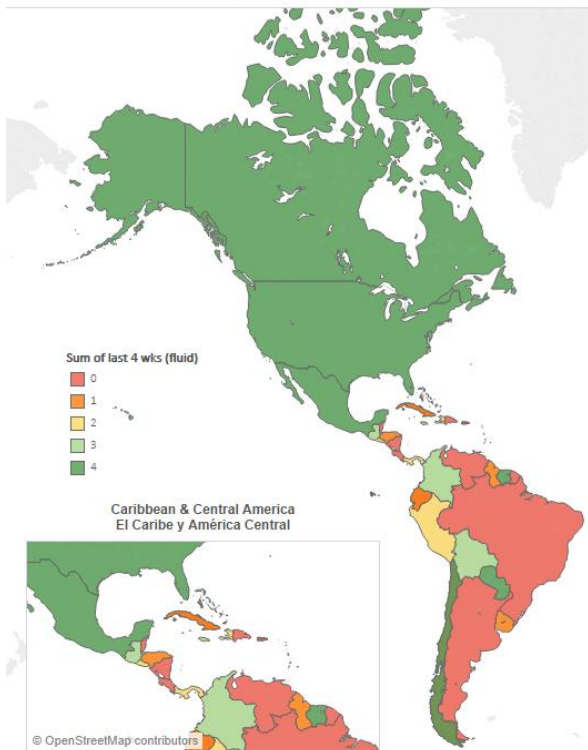
May 2, 2018
2 de mayo, 2018

FluID

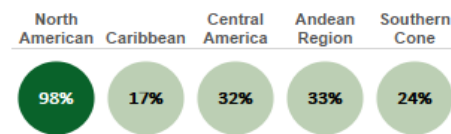
FluNet

FluID frequency of reporting in EW 12-15, 2018
FluID frecuencia de los reportes en SE 12-15, 2018

FluNet frequency of reporting in EW 12-15, 2018
FluNet frecuencia de los reportes en SE 12-15, 2018



FluID Overall Frequency of Reporting, as of EW 15, 2018
FluID frecuencia de todos reportes, hasta SE 15, 2018



FluNet Overall Frequency of Reporting, as of EW 15, 2018
FluNet frecuencia de todos reportes, hasta SE 15, 2018



Map Production /Producción del mapa: PAHO/WHO, OPS/OMS.

Data Source /Fuente de datos:

Ministries of Health and National Influenza Centers of Member States Reports to the informatics global platforms FluNet and / Informe de los Ministerios de Salud y los Centros Nacionales de Influenza de los Estados Miembros a las plataformas informáticas globales de FluNet v FluID

[Go to Index/
Ir al Índice](#)

WEEKLY REPORT DATA SOURCES

The information presented in this update is based on data provided by Ministries of Health and National Influenza Centers of Member States to the informatics global platforms
http://www.who.int/influenza/gisrs_laboratory/flunet/en/
and http://www.who.int/influenza/surveillance_monitoring/fluid/en/ ;
and reports/weekly bulletins that Ministries of Health published on its website or shared with PAHO/WHO.

La información presentada en esta actualización se obtiene a partir de los datos notificados por los Ministerios de Salud y los Centros Nacionales de Influenza de los Estados Miembros a las plataformas informáticas globales de la OPS/OMS: [FluNet](#) y [Fluid](#); y de los informes/boletines semanales que los Ministerios de Salud publican en sus páginas web o comparten con OPS/OMS.

PAHO INFLUENZA LINKS

PAHO interactive data / Datos interactivos de la OPS:

PAHO FluNet: http://ais.paho.org/php/viz/ed_flu.asp

PAHO Fluid: <http://ais.paho.org/php/viz/flumart2015.as>

Influenza Regional Reports / Informes regionales de influenza:

In English: <http://www.paho.org/influenzareport>

En español: www.paho.org/reportesinfluenza

Severe acute respiratory infections network - SARInet
Red de las infecciones respiratorias agudas graves - SARInet:

<http://www.sarinet.org>

REPORT INDEX

ÍNDICE DE LA ACTUALIZACIÓN

Section	Content	Page
1	Weekly Summary / Resumen Semanal	5
2	Overall Influenza and RSV circulation / Circulación general de los virus influenza y VSR	6
3	Weekly and Cumulative numbers / Números semanales y acumulados	7
4	Epidemiological and Virologic update by country / Actualización epidemiológica y virológica por país	8
5	Acronyms / Acrónimos	31

[Go to Index/
Ir al Índice](#)

WEEKLY SUMMARY (ENGLISH)

North America: Overall, influenza activity continued a downward slope after peaked in recent weeks as expected in [Canada](#), [Mexico](#) and the [United States](#). Influenza A(H3N2) and influenza B co-circulated in the sub-region. In the United States and Canada, ILI activity decreased, while in Mexico SARI/ILI activity slightly decreased as expected.

Caribbean: Influenza virus activity increased and low RSV activity was reported throughout most of the sub-region. Influenza activity continued elevated in [French Territories](#), [Jamaica](#) and [Puerto Rico](#) in recent weeks with influenza A(H1N1), A(H3N2) and B co-circulating. In [Dominican Republic](#), influenza A(H1N1)pdm09 activity remained elevated.

Central America: Epidemiological indicators remained at moderate levels and influenza and RSV circulation were reported to decrease throughout the subregion. In [Guatemala](#) and [Honduras](#), influenza activity increased with co-circulation of influenza A(H1N1)pdm09, A(H3N2) and B.

Andean Region: Overall influenza and other respiratory virus activity remained stable in the sub-region. Influenza-associated SARI activity increased in [Bolivia](#), with influenza B and A(H1N1)pdm09 co-circulating. In [Colombia](#), lower influenza activity was reported, while in [Peru](#), influenza activity increased in recent weeks, with overall low SARI and pneumonia activity.

Brazil and Southern Cone: Influenza and RSV levels continued below the seasonal levels throughout most of the sub-region, with influenza B predominance. Overall ILI and SARI activity continued at low levels, with influenza B predominating. In [Brazil](#), influenza A(H3N2) and Influenza A(H1N1)pdm09 co-circulated in recent weeks.

Global: Influenza activity returned to inter-seasonal levels in most of the countries in the temperate zone of the northern hemisphere except for Eastern Europe. In the temperate zone of the southern hemisphere, influenza activity remained below the seasonal thresholds. Worldwide, seasonal influenza subtypes A and B accounted for approximately the same proportion of influenza detections

RESUMEN SEMANAL (ESPAÑOL)

América del Norte: En general, la actividad de influenza inició una pendiente decreciente luego de llegar al pico en semanas previas según lo esperado para el período en [Canadá](#), [México](#) y los [Estados Unidos](#). Influenza A(H3N2) e influenza B co-circularon en la subregión. En los Estados Unidos y Canada, la actividad de ETI descendió, en tanto en México se registró un ligero descenso en la actividad de IRAG/ETI dentro de lo esperado.

Caribe: La actividad de influenza aumentó y se reportó una actividad disminuída de VSR en la mayoría de la subregión. La actividad de influenza continuó elevada en [Territorios Franceses](#), [Jamaica](#) y [Puerto Rico](#) en semanas recientes con co-circulación de influenza A(H1N1), A(H3N2) y B. En [República Dominicana](#), la actividad de influenza A(H1N1)pdm09 continuó elevada.

América Central: Los indicadores epidemiológicos permanecieron en niveles moderados y se informó que la circulación de influenza y VSR se encuentran en descenso en toda la subregión. En [Guatemala](#) y [Honduras](#), la actividad de influenza aumentó con co-circulación de influenza A(H1N1)pdm09, A(H3N2) y B.

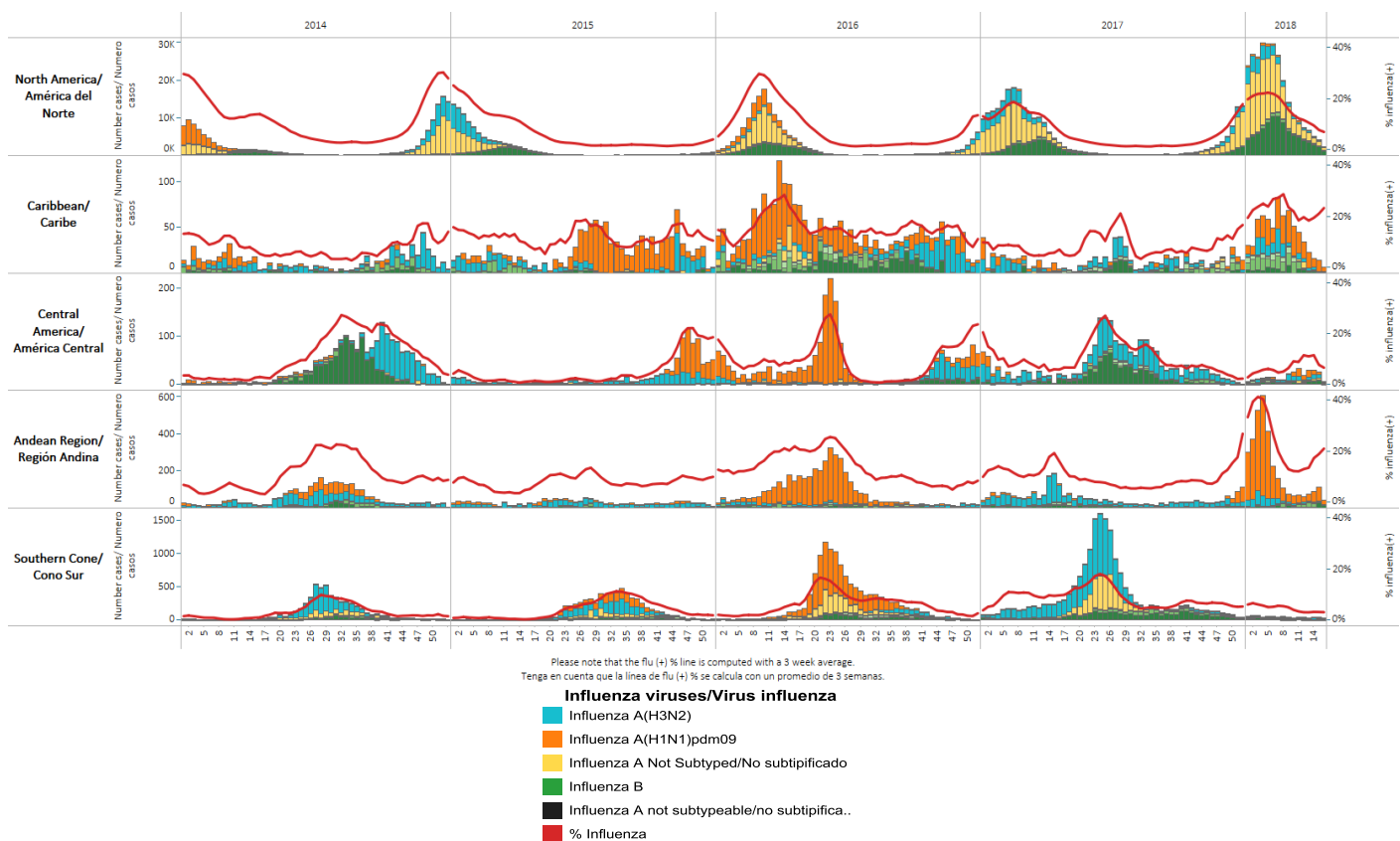
Sub-región Andina: La actividad general de influenza y otros virus respiratorios permaneció estable en la sub-región. La actividad de IRAG asociada a influenza aumentó en [Bolivia](#), con co-circulación de influenza B y A(H1N1)pdm09. En [Colombia](#), se reportó menor circulación de influenza, en tanto en [Perú](#), la circulación de influenza aumentó en semanas recientes, con baja actividad de IRAG y neumonía en general.

Brasil y Cono Sur: Los niveles de influenza y VSR continuaron bajo los niveles estacionales en toda la sub-región, con predominancia de influenza B. La actividad de ETI y de IRAG continúan bajas, con predominio de influenza B. En [Brazil](#), co-circularon influenza A(H3N2) e Influenza A(H1N1)pdm09 en semanas recientes.

Global: La actividad de influenza retornó a niveles inter-estacionales en la mayoría de los países de la zona templada del hemisferio norte, con excepción de Europa Oriental. En la zona templada del hemisferio sur, la actividad de influenza permaneció por debajo de los umbrales estacionales. En todo el mundo, influenza A e influenza B representaron una proporción similar de detecciones de influenza.

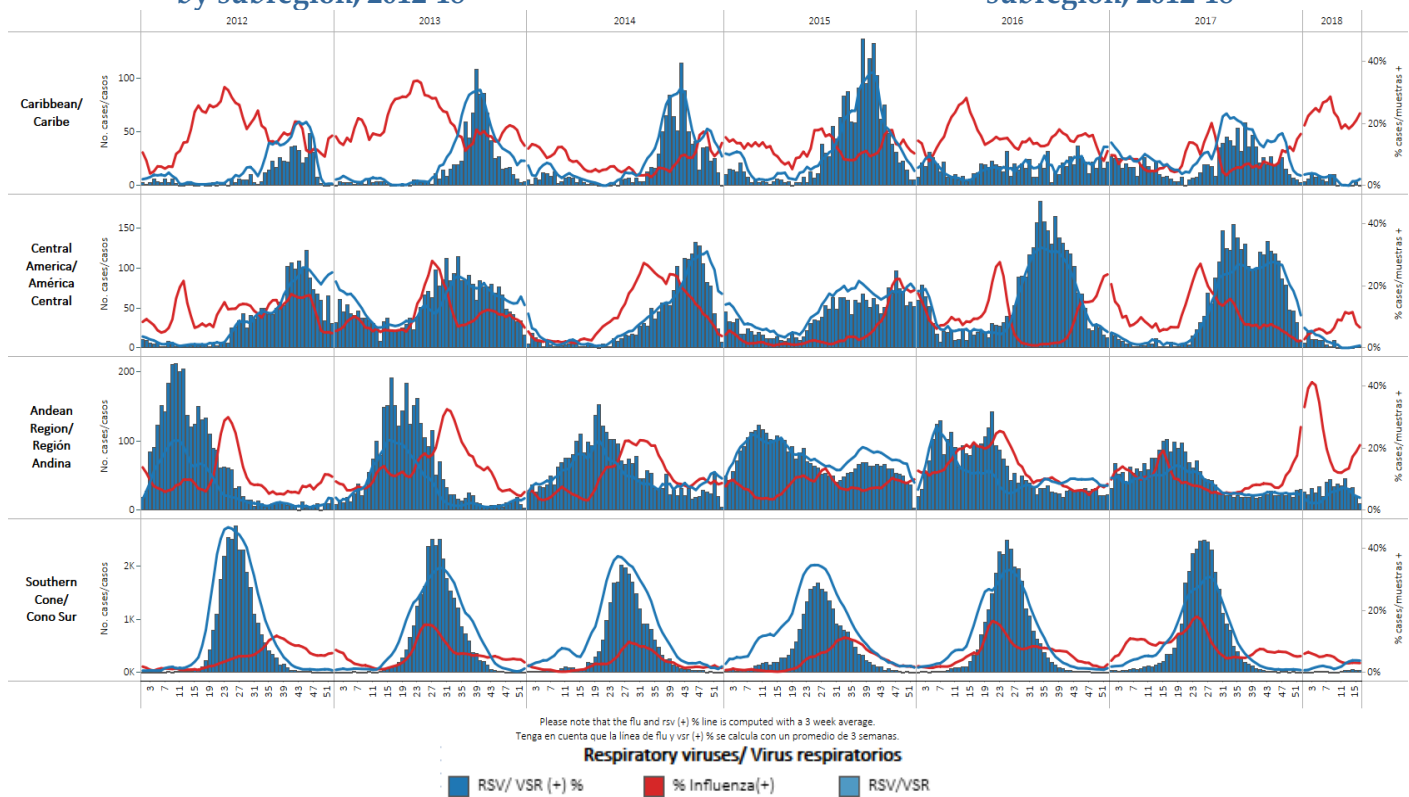
Influenza circulation by subregion, 2014-18

Circulación virus influenza por subregión, 2014-18



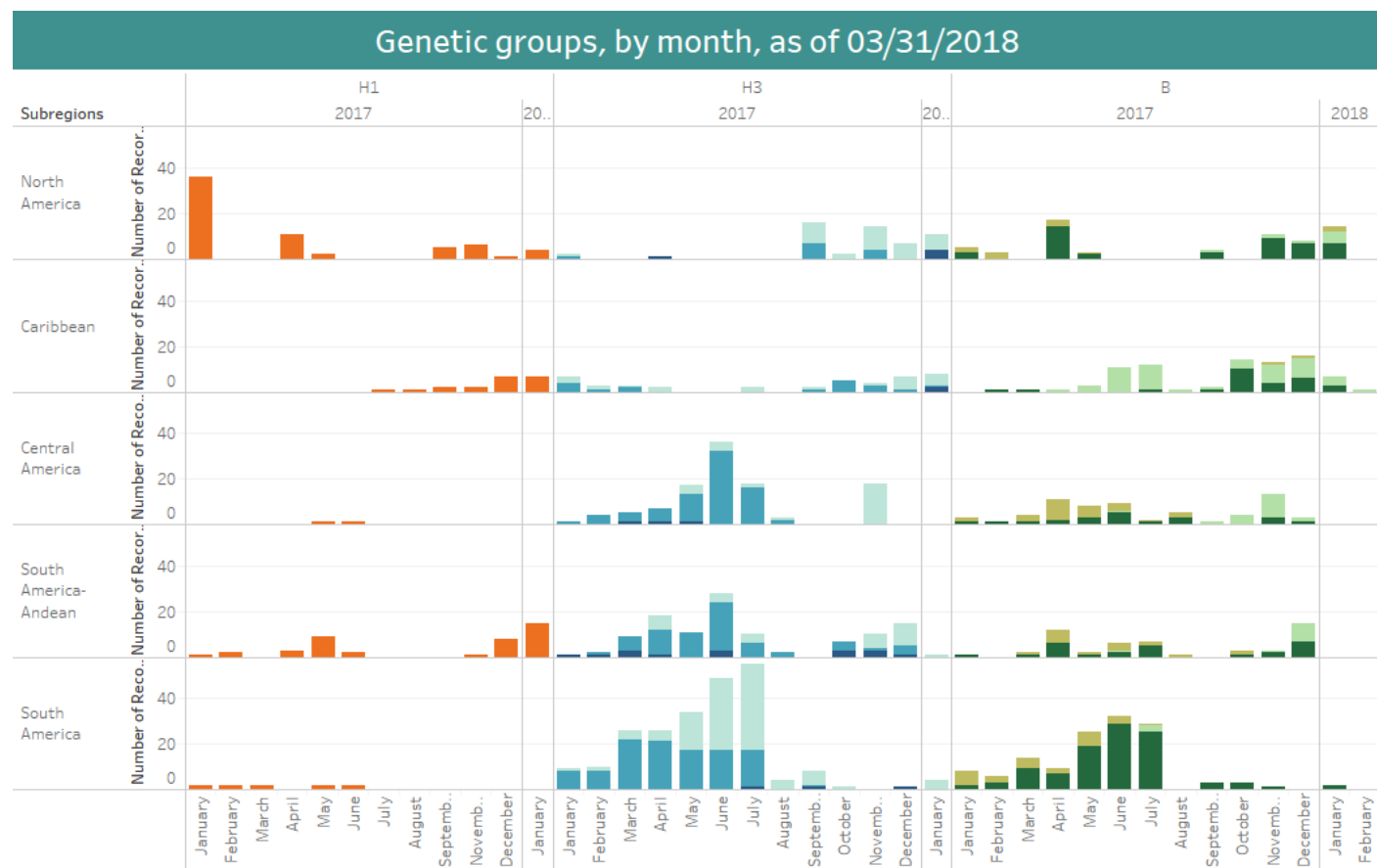
Respiratory syncytial virus (RSV) circulation by subregion, 2012-18

Circulación de virus sincicial respiratorio por subregión, 2012-18



Genetic Characterization of Influenza Viruses by Subregion, 2017-18

Caracterización Genética de los Virus Influenza por Subregión, 2017-18



These data are from the WHO –Collaborating Center at the U.S. CDC.
Estos datos son recolectados desde el CC de la OMS en el CDC de EE. UU.



Weekly and cumulative numbers of influenza and other respiratory virus, by country and EW, 2018¹ Números semanales y acumulados de influenza y otros virus respiratorios, por país y SE, 2018²

EW 16, 2018 / SE 16, 2018

		N samples/ muestras	Influenza A(H3N2)*	Influenza A(H1N1)pdm09*	Influenza A non-subtyped*	Influenza B Victoria*	Influenza B Yamagata*	Influenza B linaje undetermined*	Influenza (+) %	Adenovirus*	Parainfluenza*	RSV/VSR	% RSV/VSR (+)	Bocavirus*	Coronavirus*	Metapneumovirus*	Rinovirus*	% All Positive Samples (+)
North America/ América del Norte	Canada	23,150	79	29	306	0	0	318	3.2%	52	91	305	1%	0	66	178	234	7.2%
	Mexico	168	0	1	0	2	2	7	7.7%	0	0	0	n.a.	0	0	0	0	7.7%
	USA	16,420	43	20	430	21	105	1,000	9.7%	0	0	0	0	0	0	0	0	9.7%
Caribbean/ Caribe	Dominican Republic	3	0	2	0	0	0	0	66.7%	0	0	0	0	0	0	0	0	66.7%
	Jamaica	20	1	3	0	0	1	0	25.0%	0	1	0	0%	0	0	0	0	30.0%
	Suriname	3	0	0	0	0	0	0	0.0%	0	0	0	0%	0	0	0	0	0.0%
Central America/ América Central	El Salvador	25	0	0	0	0	0	0	0.0%	0	0	0	0%	0	0	0	0	0.0%
	Guatemala	20	0	2	4	0	0	0	30.0%	1	5	1	5%	0	0	0	0	65.0%
	Honduras	1	0	0	0	0	0	0	0.0%	0	0	0	0%	0	0	0	0	0.0%
	Nicaragua	36	0	0	0	0	0	0	0.0%	0	3	0	0%	0	0	0	0	8.3%
	Panama	30	0	0	0	0	0	0	0.0%	3	7	0	0%	0	0	0	0	80.0%
Andean Region/ Región Andina	Bolivia	107	0	21	0	0	5	12	35.5%	0	0	1	1%	0	0	0	0	36.4%
	Colombia	74	0	4	0	0	0	0	5.4%	2	3	8	11%	4	3	1	1	35.1%
	Ecuador	20	0	0	0	0	0	0	0.0%	0	0	0	0%	0	0	0	0	0.0%
	Ecuador IRAG	8	0	0	0	0	0	0	0.0%	0	0	0	0	0	0	0	0	0.0%
Brazil & Southern Cone/ Brasil y Cono Sur	Brazil	99	1	11	0	0	0	0	12.1%	0	0	0	0	0	0	0	0	12.1%
	Chile	709	2	0	4	0	1	4	1.6%	16	45	18	3%	0	0	3	0	13.1%
	Chile_IRAG	30	1	0	0	0	0	0	3.3%	2	1	1	3%	0	0	1	1	23.3%
	Paraguay	88	0	0	0	0	0	1	1.1%	0	0	18	20%	0	0	7	0	29.5%
	Uruguay IRAG	9	0	0	0	0	0	0	0.0%	0	0	0	0	0	0	0	0	0.0%
	Grand Total	41,020	127	93	744	23	114	1,342	5.9%	76	156	352	1%	4	69	190	250	8.6%

These are the raw numbers provided in the country's FluNet update (Not the smoothed averages)

Estos son los números crudos proporcionados en la actualización FluNet del país (no los promedios suavizados)

*Please note blank cells indicate N/A.

*Por favor notar que las celdulas en blanco indican N/A.

EW 15, 2018 / SE 15, 2018

*Note: These countries reported in EW 16, 2018, but have provided data up to EW 15.

*Nota: Estos países reportaron en la SE 16, 2018, pero han enviado los datos hasta la SE 15.

		N samples/ muestras	Influenza A(H3N2)*	Influenza A H1N1pdm09	Influenza A no subtipificado	Total Influenza B	Influenza (+) %	Adenovirus	RSV/VSR	% RSV/VSR (+)	Bocavirus*	Coronavirus*	Metapneu...*	Rinovirus*	Parainfluen...*	% All Positive Samples (+)	
Caribbean/ Caribe	Barbados	1				1	100.0%			0	0	0	0	0	0	100.0%	
	Dominica	6		1		0	16.7%			0	0	0	1	0	0	33.3%	
	French Guiana	2				0	0.0%			0	0	0	0	0	0	0.0%	
Brazil & Southern Cone/ Brasil y Cono Sur	Argentina	12	0	0	1	2	25.0%	0	1	8%	0	0	0	0	0	0	33.3%
	Paraguay IRAG	55	0	0	0	0	0.0%	1	11	20%	0	0	0	0	0	0	21.8%
	Grand Total	76	0	1	1	3	6.6%	1	12	16%	0	0	0	1	0	25.0%	

EW 14, 2018 / SE 14, 2018

*Note: These countries reported in EW 16, 2018, but have provided data up to EW 14.

*Nota: Estos países reportaron en la SE 16, 2018, pero han enviado los datos hasta la SE 14.

		N samples/ muestras	Influenza A(H3N2)*	Influenza A H1N1pdm09	Influenza A no subtipificado	Total Influenza B	Influenza (+) %	Adenovirus	RSV/VSR	% RSV/VSR (+)	Bocavirus*	Coronavirus*	Metapneu...*	Rinovirus*	Parainfluen...*	% All Positive Samples (+)
Caribbean/ Caribe	Haiti	29	0	0	0	1	3.4%	0	0	0%	0	0	0	0	0	3.4%
	Grand Total	29	0	0	0	1	3.4%	0	0	0%	0	0	0	0	0	3.4%

EW 13-16, 2018 / SE 13-16, 2018

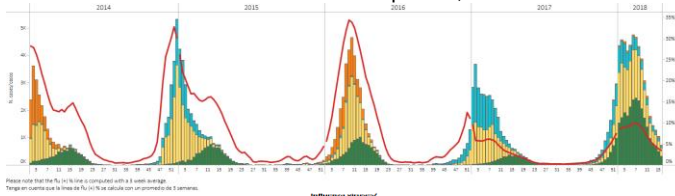
		N samples/muestras	Influenza A(H3N2)*	Influenza A(H1N1)pdm09*	Influenza A non-subtyped*	Influenza B Victoria*	Influenza B Yamagata*	Influenza B linaje determinado*	Influenza (+) %	Adenovirus*	Parainfluenza*	RSV/VSR	% RSV/VSR (+)	Bocavirus*	Coronavirus*	Metapneumovirus*	Rinovirus*	% All Positive Samples (+)	
North America/ América del Norte	Canada	107,298	532	175	1,570	0	0	2,246	4.2%	235	350	1,647	1.5%	0	307	861	1,030	8.3%	
	Mexico	1,156	13	35	0	19	22	30	10.8%	2	0	0	0.0%	0	0	4	1	11.4%	
	USA	96,888	463	298	3,868	163	1,056	7,728	13.8%	0	0	0	0	0	0	0	0	13.8%	
Caribbean/ Caribe	Barbados	10	0	0	0	0	0	1	10.0%	0	0	0	0	0	0	0	0	10.0%	
	Dominica	16	0	3	0	0	0	2	31.3%	3	0	0	0	0	0	0	4	75.0%	
	Dominican Republic	68	0	28	0	0	0	0	41.2%	0	1	0	0	0	0	0	0	42.6%	
	French Guiana	8	0	1	0	0	1	0	25.0%	0	0	0	0.0%	0	0	0	0	25.0%	
	Haiti	52	0	0	0	1	0	0	1.9%	0	0	0	0.0%	0	0	0	0	1.9%	
	Jamaica	87	7	4	0	0	1	0	13.8%	1	1	0	0.0%	0	0	0	0	16.1%	
	Saint Vincent and the Lesser Antilles	6	0	2	0	0	0	0	33.3%	1	0	0	0	0	0	0	0	50.0%	
	Suriname	20	0	0	0	0	0	1	5.0%	1	0	3	15.0%	0	0	0	0	25.0%	
Central America/ América Central	Costa Rica	107	0	0	0	0	1	0	0.9%	12	3	0	0.0%	0	0	0	0	15.0%	
	El Salvador	93	0	0	0	0	0	0	0.0%	0	4	0	0.0%	0	0	0	0	4.3%	
	Guatemala	147	22	7	11	3	0	2	30.6%	5	21	2	1.4%	0	0	1	0	50.3%	
	Honduras	116	0	22	0	0	0	22	37.9%	0	1	0	0.0%	0	0	0	0	38.8%	
	Nicaragua	267	0	0	0	0	0	0	0.0%	0	6	0	0	0	0	0	0	2.2%	
	Panama	183	0	1	0	0	0	0	0.5%	10	27	1	0.5%	0	0	0	0	65	56.8%
Andean Region/ Región Andina	Bolivia	601	1	147	0	1	59	43	41.8%	0	0	2	0.3%	0	0	0	0	42.1%	
	Colombia	567	1	24	0	0	0	4	5.1%	12	16	69	12.2%	12	11	6	3	28.2%	
	Ecuador	273	1	5	0	0	0	1	2.6%	0	4	7	2.6%	0	0	0	0	6.6%	
	Ecuador IRAG	219	1	2	0	0	0	0	1.4%	0	4	6	2.7%	0	0	0	0	5.9%	
	Peru	129	6	12	0	0	1	3	17.1%	1	0	9	7.0%	0	0	0	9	31.8%	
	Venezuela	9	0	3	0	0	0	0	33.3%	0	0	0	0.0%	0	0	0	0	33.3%	
Brazil & Southern Cone/ Brasil y Cono Sur	Argentina	376	0	4	0	0	3	1	1.9%	15	7	11	2.9%	0	0	1	0	10.9%	
	Brazil	796	24	41	0	0	10	9	9.4%	6	2	19	2.4%	0	0	6	3	13.9%	
	Chile	2,606	22	4	5	0	7	4	1.6%	64	91	42	1.6%	0	0	7	0	9.4%	
	Chile_IRAG	179	3	0	5	0	0	1	5.0%	3	5	3	1.7%	0	0	2	5	15.1%	
	Paraguay	340	0	1	0	0	0	3	1.2%	11	0	64	18.8%	0	0	19	0	28.8%	
	Paraguay IRAG	191	0	0	0	0	0	0	0.0%	10	1	39	20.4%	0	0	5	0	28.8%	
	Uruguay	29	1	0	0	0	0	0	3.4%	1	0	0	0.0%	0	0	0	0	6.9%	
	Uruguay ETI	1	0	0	0	0	0	0	0.0%	0	0	0	0	0	0	0	0	0.0%	
	Uruguay IRAG	28	1	0	0	0	0	0	3.6%	1	0	0	0	0	0	0	0	7.1%	
	Grand Total	212,666	1,098	815	5,463	187</b													

North America / América del Norte

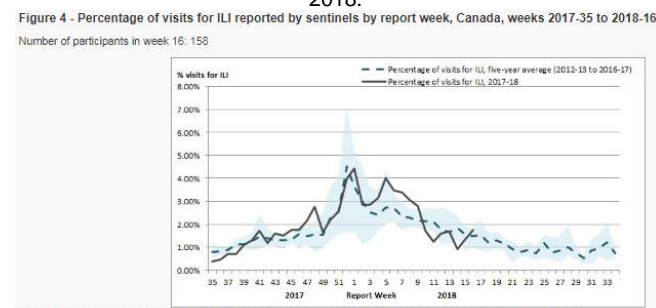
Canada / Canadá

- In EW 16, ILI activity at the national level continued to trend downward (Graph 3). Most of the provinces and territories reported localized ILI activity (Graph 4). Influenza and non-influenza respiratory virus detections continued to trend downward (Graph 1 and 2); and influenza B viruses predominated among the influenza detections. The number of pediatric influenza-associated hospitalizations trended downward (Graph 7). / En la SE 16, la actividad de ETI a nivel nacional continuó con tendencia al descenso (Gráfico 3). La mayoría de los territorios y provincias reportaron actividad de ETI localizada (Gráfico 4). Las detecciones de influenza y virus respiratorios distintos de influenza continuó en descenso (Gráficos 1 y 2); y los virus influenza B predominaron entre las detecciones de influenza. El número de hospitalizaciones pediátricas asociadas a influenza disminuyó (Gráfico 7).

Graph 1. Canada: Influenza virus distribution by EW, 2014-18, EW 16 /
Distribución de virus de influenza por SE, 2014-18. SE 16



Graph 3. Canada: Percentage of ILI visits by sentinel sites, EW 35
2017 – EW 16, 2018 /
Porcentaje de casos de ETI por sitio centinela , SE 35 2017 – SE 16,
2018.



Graph 5. Canada: Cumulative number of influenza positive samples by type and age, 2018, EW 16/
Número acumulado de muestras positivas para influenza por tipo de
influenza y edad, 2018. SE 16

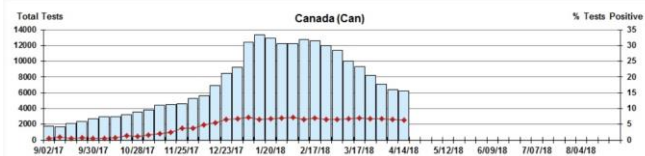
Table 1 - Cumulative numbers of positive influenza specimens by type, subtype and age-group reported through case-based laboratory reporting, Canada, weeks 2017-35 to 2018-16

Age groups (years)	Cumulative (August 27, 2017 to April 21, 2018)					
	Influenza A			Influenza A and B		
	A Total	A(H1N1) pdm09	A(H3N2)	A (UnS)	Total #	
0-4	3099	148	556	2395	1461	4560 9%
5-19	2273	125	538	1610	2536	4809 9%
20-44	4179	251	1183	2745	2732	6911 14%
45-64	4605	231	1432	2942	4628	9233 16%
65+	14791	143	5392	9256	10425	25216 50%
Total	28947	898	9101	18948	21762	50729 100%

1 UnS: unsubtype. The specimen was typed as influenza A, but no result for subtyping was available

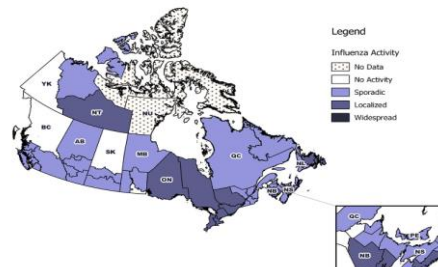
Graph 2. Canada: Respiratory syncytial virus distribution by EW, 2017-2018. EW 15 /
Distribución de virus Sincicial Respiratorio por SE, 2017-2018. SE 15

Figure 3: Positive Respiratory syncytial virus (RSV) Tests (%) In Canada by Region by Week of Report



Graph 4. Canada: Influenza /ILI activity level by province and territory, Canada, EW 16, 2018.
Nivel de actividad de influenza/ETI por provincia y territorio,
Canadá, SE 16, 2018.

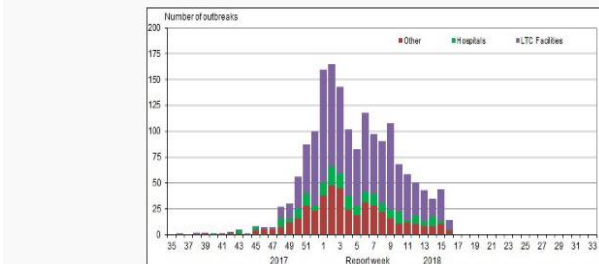
Figure 4 - Map of overall influenza/ILI activity level by province and territory, Canada, week 2018-16



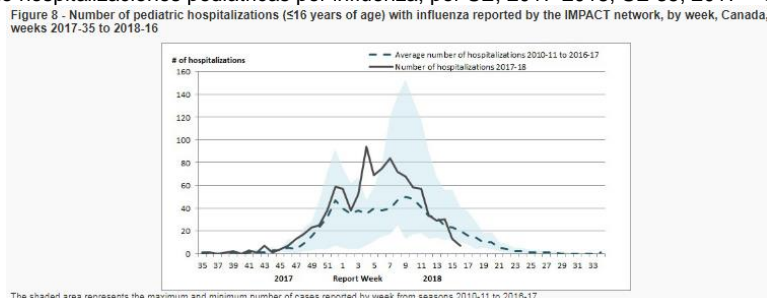
Graph 6. Canada: Number of laboratory-confirmed influenza outbreaks by EW, EW 35, 2017 – EW 16, 2018.

Número de brotes de influenza confirmados por laboratorio, por SE,
SE 35, 2017 – SE 16, 2018.

Figure 5 - Number of new outbreaks of laboratory-confirmed influenza by report week, Canada, weeks 2017-35 to 2018-16



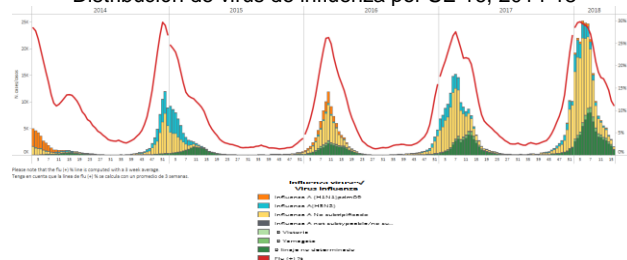
Graph 7. Canada: Number of influenza pediatric hospitalizations (<16 years of age) by EW, 2017-2018, EW 35, 2017 – EW 16, 2018.
Recuento de hospitalizaciones pediátricas por influenza, por SE, 2017-2018, SE 35, 2017 – SE 16, 2018.



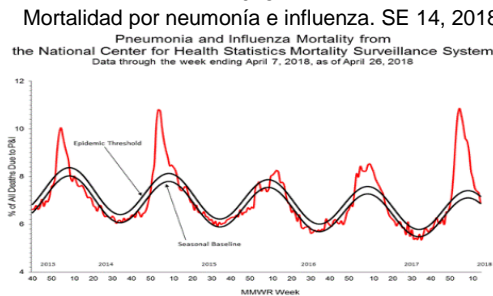
United States / Estados Unidos

- In EW 16, ILI activity at the national level continued to trend downward (Graph 3). Most of the states reported low and minimal ILI activity (Graph 6). Influenza and RSV detections continued to trend downward (Graph 5); and influenza B viruses predominated among the influenza detections. The proportion of pneumonia and influenza deaths among all deaths was below the epidemic threshold (Graph 3). Cumulative influenza-associated hospitalization rates were the highest this season among those 65 years of age and older (Graph 7). / En la SE 16, la actividad de ETI a nivel nacional continuó con tendencia al descenso (Gráfico 3). La mayoría de los estados reportaron actividad de ETI baja o mínima (Gráfico 6). Las detecciones de influenza y VSR continuaron en descenso (Gráfico 5); y los virus influenza B predominaron entre las detecciones de influenza. La proporción de fallecidos por neumonía e influenza del total de fallecidos se ubicó bajo el umbral epidémico (Gráfico 3). Las tasas acumuladas de hospitalizaciones asociadas a influenza fueron mayores durante esta temporada entre los de 65 años y mayores (Gráfico 7).

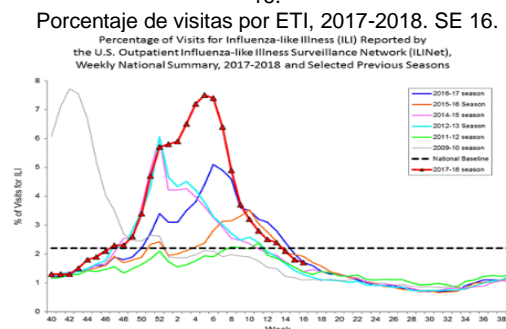
Graph 1. US: Influenza virus distribution by EW 16, 2014-18
Distribución de virus de influenza por SE 16, 2014-18



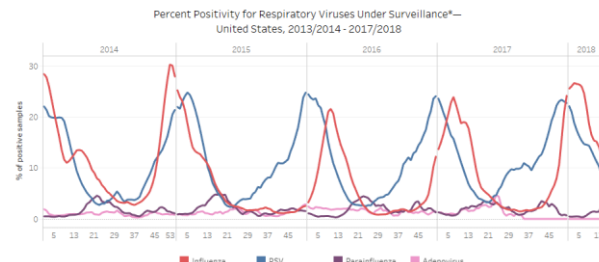
Graph 3. US: Pneumonia and influenza mortality. EW 14, 2018
Mortalidad por neumonía e influenza. SE 14, 2018



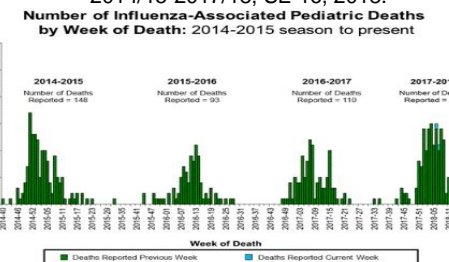
Graph 5. US: Percentage of visits for ILI, 2017-2018. EW 16.
Porcentaje de visitas por ETI, 2017-2018. SE 16.



Graph 2. US: Percent positivity for respiratory virus EW 15
Porcentaje de positividad para virus respiratorios, por SE 15, 2013/14-2017/18

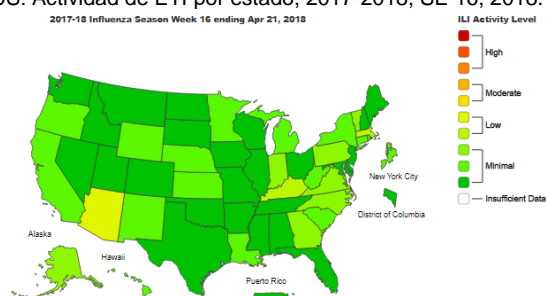


Graph 4. US: Number of influenza-associated pediatric deaths, 2014/15-2017/18, EW 16 /
Número de fallecidos pediátricos asociados a influenza, 2014/15-2017/18, SE 16, 2018.

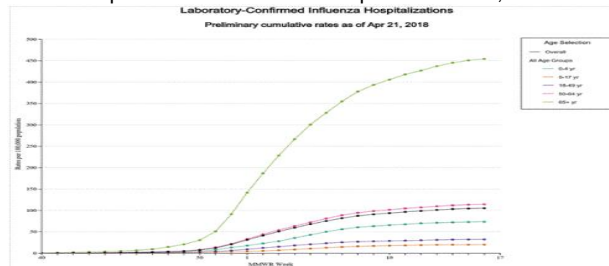


Graph 6. US: ILI activity per state, 2017-2018. EW 16, 2018.
US: Actividad de ETI por estado, 2017-2018, SE 16, 2018.

2017-18 Influenza Season Week 16 ending Apr 21, 2018



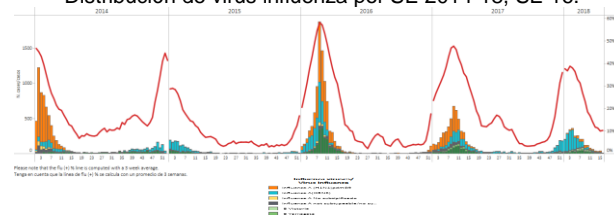
Graph 7. US: Hospitalizaciones por influenza confirmadas por laboratorio, Tasas acumuladas, SE 16, 2018.



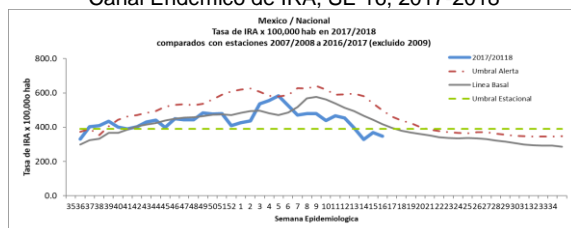
Mexico / México

- In EW 16, ARI and pneumonia counts at the national level, were below historical levels (Graph 3,4). Influenza activity continued to decrease and there were no RSV detections (Graph 2). Influenza-associated SAR/ILI counts were below what was observed during most other seasons (Graph 5) as were influenza-associated SARI/ILI deaths (Graph 8). 4 states (Guerrero, Sonora, Tlaxcala and Veracruz) reported higher cumulative counts of influenza-associated SARI/ILI deaths compared to last season. / Durante la SE 16, los recuentos de IRA y neumonía a nivel nacional se ubicaron bajo los niveles históricos (Gráficos 3, 4). La actividad de influenza continuó en descenso y no se reportaron detecciones de VSR (Gráfico 2). Los recuentos de IRAG/ETI asociados a influenza se ubicaron por debajo de lo observado durante la mayoría de las temporadas previas (Gráfico 5) al igual que los casos fallecidos de IRAG/ETI asociados a influenza (Gráfico 8). 3 estados (Guerrero, Sonora y Veracruz) reportaron mayores casos acumulados de IRAG/ETI asociados a influenza comparado con la temporada previa.

Graph 1. Mexico: Influenza virus distribution by EW 2014-18, EW 16.
Distribución de virus influenza por SE 2014-18, SE 16.

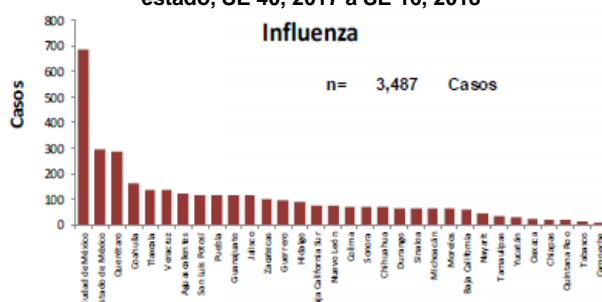


Graph 3. Mexico: ARI Endemic Channel, EW 16, 2017-2018
Canal Endémico de IRA, SE 16, 2017-2018

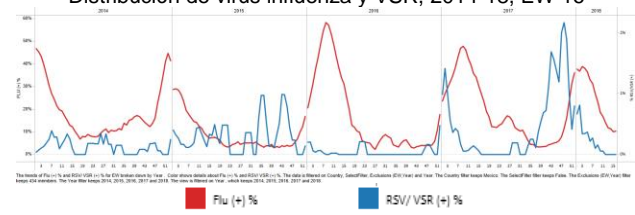


Graph 5. Mexico: Cumulative SARI-flu cases by state, EW 40, 2017 to EW 16, 2018

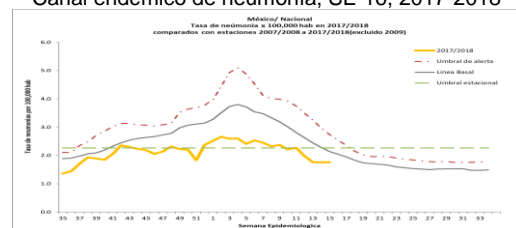
Casos acumulados de IRAG positivos para influenza por estado, SE 40, 2017 a SE 16, 2018



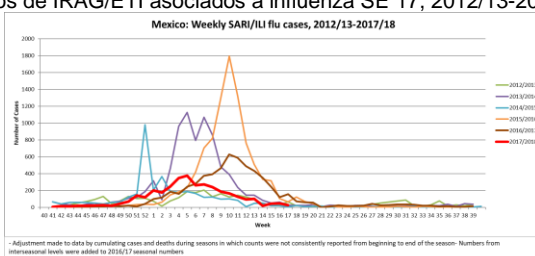
Graph 2. Mexico: Influenza and RSV distribution, 2014-18, EW 16.
Distribución de virus influenza y VSR, 2014-18, EW 16



Graph 4. Mexico: Pneumonia Endemic Channel, EW 16 2017-2018.
Canal endémico de neumonía, SE 16, 2017-2018



Graph 6. Mexico: SARI/ILI-flu cases EW 17, 2012/13-2017/18
Casos de IRAG/ETI asociados a influenza SE 17, 2012/13-2017/18



Graph 7. Mexico: Cumulative influenza cases and deaths by state.

EW 40, 2017 to EW 16, 2018

Proporción acumulada de casos y defunciones por influenza según estado. SE 40, 2017 a SE 16, 2018

Tabla 4. Proporción de casos positivos y defunciones por influenza según entidad federativa. México, Temporada de influenza 2017-2018

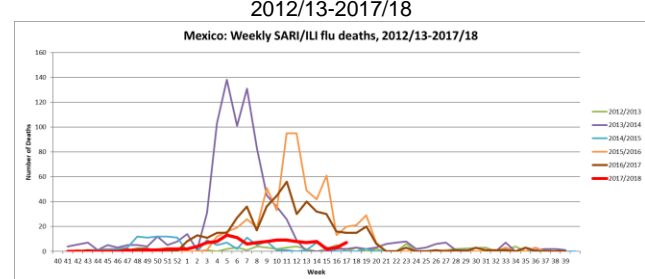
Entidad Federativa	Casos ETI/ETAG	Casos positivos a influenza	%*	Defunciones por influenza	Entidad Federativa	Casos ETI/ETAG	Casos positivos a influenza	%*	Defunciones por influenza
AGUASCALIENTES	944	121	(12.8)	4	MORELOS	711	64	9.0	1
BAJA CALIFORNIA SUR	420	63	(15.0)	2	NAYARIT	517	46	8.9	1
BAJA CALIFORNIA NOR	593	77	(13.0)	0	NUERO LEÓN	1,355	76	5.6	1
CAMPECHE	496	8	1.6	1	OAXACA	595	27	4.5	1
COAHUILA	945	163	(17.2)	3	PUEBLA	1,260	117	9.3	7
COLIMA	509	73	(14.3)	1	QUERÉTARO	1,446	286	(19.8)	11
CHIAPAS	530	21	4.0	1	QUINTANA ROO	720	21	2.9	0
CHIHUAHUA	793	71	9.0	2	SAN LUIS POTOSÍ	904	120	(13.3)	1
Ciudad de MÉXICO	3,953	686	(17.4)	14	SINALOA	854	68	8.0	2
DURANGO	438	68	(15.5)	2	SONORA	452	72	(15.9)	6
GUANAJUATO	1,244	117	9.4	9	TABASCO	545	14	2.6	1
GUERRERO	796	96	(12.1)	3	TAMAULIPAS	290	34	(11.7)	0
HIDALGO	930	91	9.8	9	TLACALA	1,267	137	(10.8)	8
JALISCO	1,213	116	9.6	7	VERACRUZ	2,291	137	6.0	8
ESTADO DE MÉXICO	2,269	297	(13.1)	12	YUCATÁN	540	32	5.9	2
MICHOACÁN	848	67	7.9	4	ZACATECAS	1,325	101	7.6	2
					Total general	31,983	3,487	10.9	126

*% de casos positivos a influenza respecto a los casos ETI/ETAG

● % de casos positivos a influenza respecto a los casos de ETI/ETAG / % influenza-positivity
 ○ % de casos positivos / >10% positivity
 ○ % de casos positivos / >20% positivity
 ○ % de casos positivos / >30% positivity

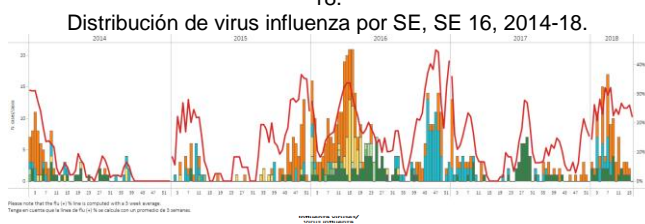
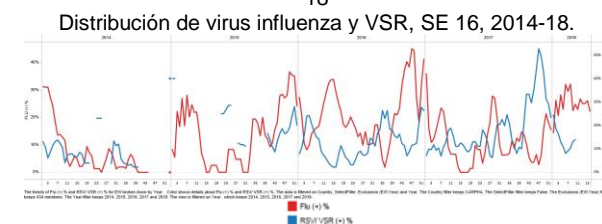
Graph 8. Mexico: SARI/ILI-flu deaths EW 17, 2012/13- 2017/18

Casos fallecidos por IRAG/ETI asociados a Influenza SE 17, 2012/13-2017/18



CARPHA (Barbados, Dominica, Saint Vincent)

- During EW 16, decreased influenza detections were reported with influenza A(H1N1)pdm09 and B co-circulating in recent weeks in Barbados, Dominica and Saint Vincent (Graph 1). The proportion of influenza positive samples decreased, while RSV proportion was higher as compared to levels observed during the 2017 season for the same period (Graph 2). Influenza A(H1N1)pdm09 was reported in Dominica and Saint Vincent and influenza B circulated in Barbados and Dominica in previous weeks (Graph 3). / Durante la SE 16, se reportaron menores detecciones de influenza con co-circulación de influenza A(H1N1)pdm09 y B en semanas previas en Barbados, Dominica y Saint Vincent (Gráfico 1). La proporción de muestras positivas para influenza disminuyó, en tanto la proporción de VSR fue superior en relación a los niveles observados durante la temporada 2017 para el mismo período (Gráfico 2). Se reportó influenza A(H1N1)pdm09 en Dominica y Saint Vincent e influenza B circuló en Barbados y Dominica en semanas recientes (Gráfico 3).

Graph 1. CARPHA. Influenza virus distribution EW, EW 16, 2014-18.**Graph 2.** CARPHA. Influenza and RSV distribution, EW 16, 2014-18**Graph 3.** Países de CARPHA: Datos reportados entre la SE 13-16

CARPHA Countries: Data reported between EW 13-16

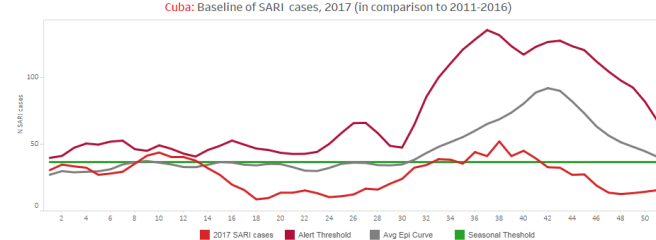
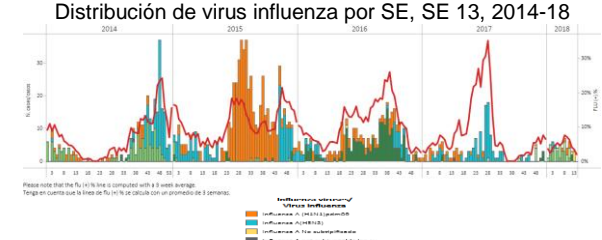
	Número/ casos	Influenza A/ (%)	Influenza B/ (%)	No detectadas	Total	Influenza (%)	Adenovirus	RSV/VSR (%)	Bacillus*	Campylobacter	Meningo.	Neurosis*	Pseudomonas	% de Positive Samples
Anuba	0	0	0	0	0	0	0	0	0	0	0	0	0	0
Bahamas	0	0	0	0	0	0	0	0	0	0	0	0	0	0
Barbados	10	1	10.0%	0	0	0	0	0	0	0	0	0	0	10.0%
Bermuda	0	0	0	0	0	0	0	0	0	0	0	0	0	0
CARPHA	32	5	3	25.0%	4	0	0	0	0	0	4	0	0	50.0%
Carolina del Sur	0	0	0	0	0	0	0	0	0	0	0	0	0	0
Dominica	16	3	2	31.3%	3	0	0	0	0	0	4	0	0	75.0%
Saint Kitts	0	0	0	0	0	0	0	0	0	0	0	0	0	0
Saint Lucia	0	0	0	0	0	0	0	0	0	0	0	0	0	0
Saint Vincent and the Grenadines	6	2	0	33.3%	1	0	0	0	0	0	0	0	0	50.0%
Trinidad and Tobago	0	0	0	0	0	0	0	0	0	0	0	0	0	0
Grand Total	64	19	6	25.0%	8	0	0	0	0	0	6	0	0	50.0%

Cuba

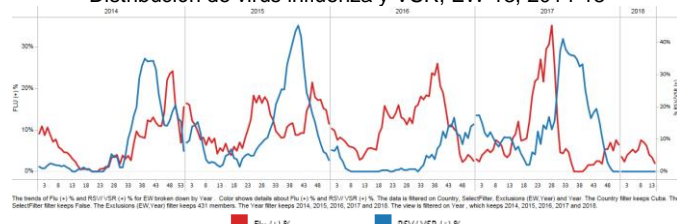
- During EW 13, slightly decreased influenza detections were reported with influenza B predominating in recent week (Graph 2); while there were no RSV detections (Graph 3). The number of SARI cases was below the average epidemic curve during EW 52, 2017 (Graph 1). / Durante la SE 13, se reportó ligero descenso en las detecciones de influenza con predominio de influenza B en las últimas semanas (Gráfico 2); en tanto no se detectaron muestras de VSR (Gráfico 3). El número de casos de IRAG se ubicó por debajo de la curva epidémica promedio durante la SE 52 de 2017 (Gráfico 1).

Graph 1. Cuba: Number of SARI cases by EW, EW 52, 2013-17

Número de casos IRAG by EW, EW 52, 2013-17

**Graph 2.** Cuba: Influenza virus distribution by EW, EW 13, 2014-18

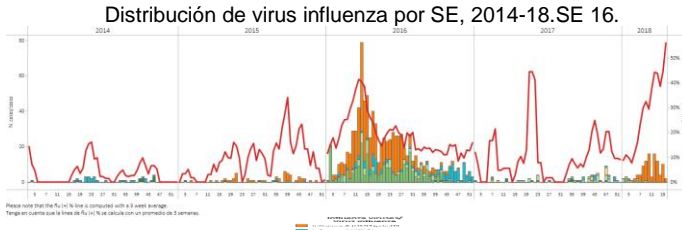
Graph 3. Cuba Influenza and RSV distribution, EW 13, 2014-18
Distribución de virus influenza y VSR, EW 13, 2014-18



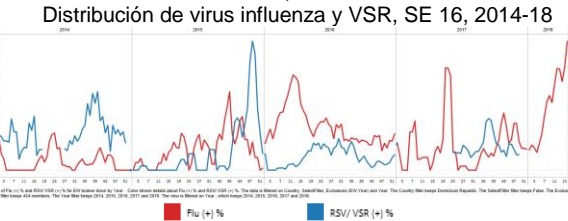
Dominican Republic / República Dominicana

- During EW 16, increased influenza detections were reported, but the number of samples tested were very small (n=3), and influenza A(H1N1)pdm09 predominated in previous weeks (Graph 1), while no RSV activity was reported (Graph 2). Influenza positivity continued above the alert threshold (Graph 3). / Durante SE 16 de 2018, se reportaron mayores detecciones de influenza, pero el número de muestras estudiadas fue muy bajo (n=3), e influenza A(H1N1)pdm09 predominó en las previas semanas (Gráfico 1), en tanto no se reportó actividad de VSR (Gráfico 2). La positividad de influenza continuó sobre el umbral de alerta (Gráfico 3).

Graph 1. Dominican Republic: Influenza virus distribution EW, 2014-18. EW 16.
Distribución de virus influenza por SE, 2014-18. SE 16.



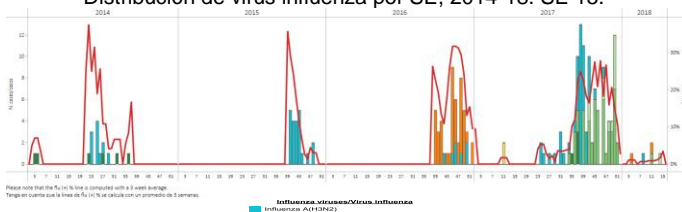
Graph 2. Dominican Republic Influenza and RSV distribution, EW 16, 2014-18
Distribución de virus influenza y VSR, SE 16, 2014-18



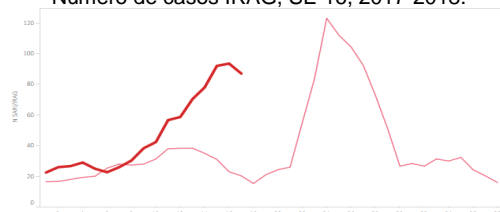
Haiti

- As of EW 15, there were no influenza detections. Sporadic influenza B cases have been detected (Graph 1). During EW 16, the percentage of SARI hospitalizations among total hospitalizations slightly decreased, as compared to previous weeks; and was similar to the levels observed in 2017 for the same period (Graph 2). / En la SE 15, no se reportaron detecciones de influenza. Se detectaron casos esporádicos de influenza B (Gráfico 1). Durante la SE 16, el porcentaje de hospitalizaciones de IRAG sobre el total de hospitalizaciones disminuyó ligeramente, en relación a las semanas previas; y fue similar a los niveles observados en 2017 para el mismo período (Gráfico 2).

Graph 1. Haiti: Influenza virus distribution EW, 2014-18. EW 15.
Distribución de virus influenza por SE, 2014-18. SE 15.



Graph 2. Haiti: Number of SARI cases, EW 16, 2017-2018. /
Número de casos IRAG, SE 16, 2017-2018.

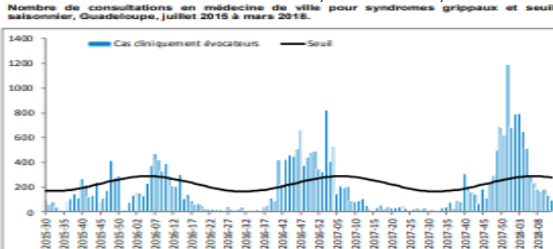


French Territories / Territorios Franceses

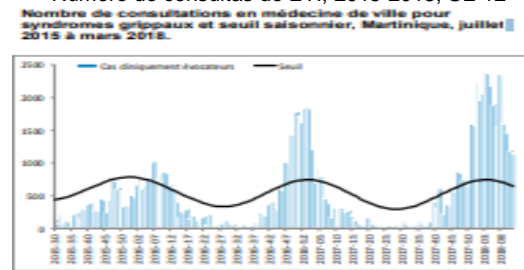
- Graph 1,2. Guadeloupe:** During EW 12, the number of ILI consultations decreased below the maximum expected level. Bronchiolitis consultations also decreased below the maximum expected level. / Durante la SE 12, el número de casos de ETI disminuyó bajo nivel máximo esperado. Las consultas por bronquiolitis disminuyeron también sobre el máximo nivel esperado.
- Graph 3,4. Martinique:** During EW 12, the number of ILI consultations decreased above the maximum expected level, and bronchiolitis consultations decreased and were above the maximum expected level. / **Martinica:** Durante la SE 12, el número de consultas por ETI disminuyó sobre el nivel máximo esperado, y el número de consultas por bronquiolitis disminuyó por sobre el máximo esperado.
- Graph 5. Guyane.** During EW 8, 2018 and in previous weeks, the number of ILI consultations decreased and was higher than the 2017 season for the same period. / **Guyane:** Durante la SE 8 de 2018 y en semanas previas, el número de consultas por ETI disminuyó y fue mayor a la temporada 2017 para el mismo período.

- Graph 6. French Guyana.** During EW 16, 2018 and in recent weeks, influenza percent positivity decreased; influenza A(H1N1)pdm09 and influenza B Yamagata lineage co-circulated. / Durante la SE 16 de 2018 y en semanas previas, el porcentaje de positividad de influenza disminuyó; co-circularon influenza A(H1N1)pdm09 e influenza B linaje Yamagata.
- Graph 7,8. Saint-Barthélemy:** During EW 12, the number of ILI consultations increased above the maximum expected level, and bronchiolitis consultations decreased and were above the maximum expected level. / **Saint- Barthélemy:** Durante la SE 12, el número de consultas por ETI disminuyó sobre el nivel máximo esperado, y el número de consultas por bronquiolitis disminuyó por sobre el máximo esperado.
- Graph 9,10. Saint Martin:** During EW 12, the number of ILI consultations increased as compared to previous weeks, and bronchiolitis consultations remained at similar levels from recent weeks. / **Saint Martin:** Durante la SE 12, el número de consultas por ETI aumentó en relación a semanas previas, y el número de consultas por bronquiolitis permaneció similar a las semanas recientes.

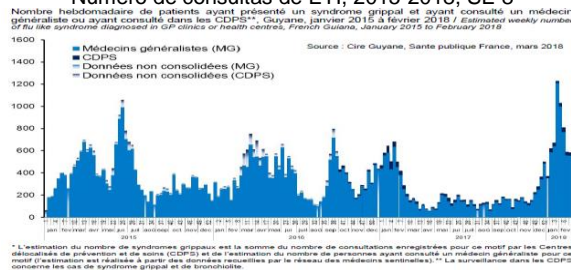
Graph 1. Guadeloupe: Number of ILI consultations, 2015-2018, EW 12
Número de consultas de ETI, 2015-2018, SE 12



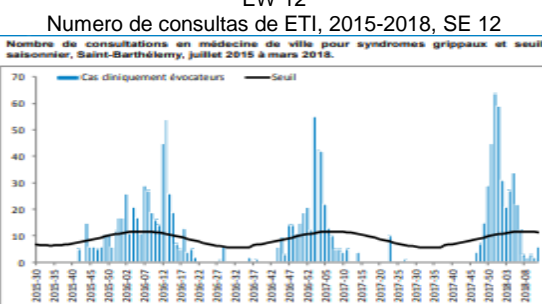
Graph 3. Martinique: Number of ILI consultations, 2015-2018, EW 12
Número de consultas de ETI, 2015-2018, SE 12



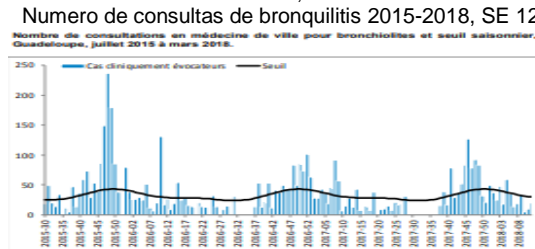
Graph 5. Guyana: Number of ILI consultations, 2015-2018, EW 8
Número de consultas de ETI, 2015-2018, SE 8



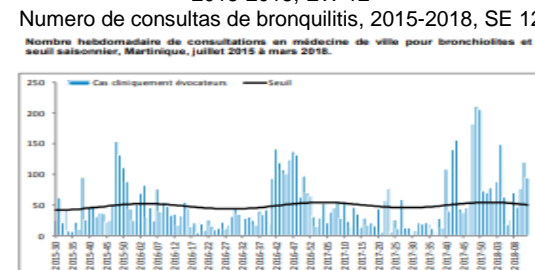
Graph 7. Saint Barthélemy: Number of ILI consultations, 2015-2018, EW 12
Número de consultas de ETI, 2015-2018, SE 12



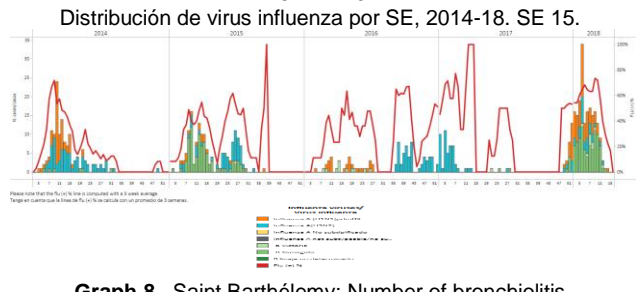
Graph 2. Guadeloupe, Number of bronchiolitis consultations 2015-2018, EW 12
Número de consultas de bronquiolitis 2015-2018, SE 12



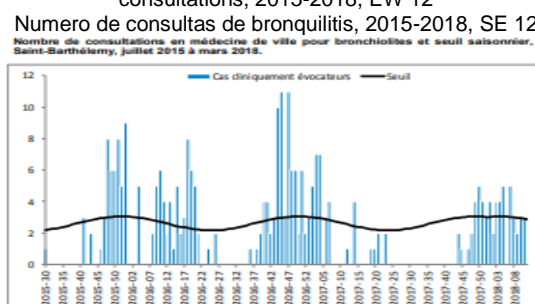
Graph 4. Martinique, Number of bronchiolitis consultations, 2015-2018, EW 12
Número de consultas de bronquiolitis, 2015-2018, SE 12



Graph 6. French Guiana: Influenza virus distribution EW, 2014-18, EW 15.
Distribución de virus influenza por SE, 2014-18, SE 15.

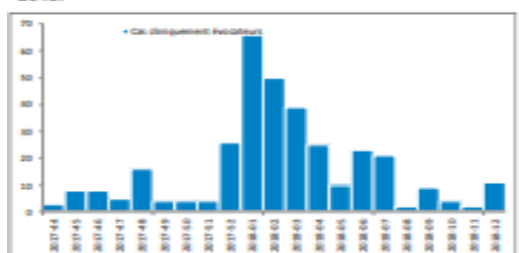


Graph 8. Saint Barthélemy: Number of bronchiolitis consultations, 2015-2018, EW 12
Número de consultas de bronquiolitis, 2015-2018, SE 12



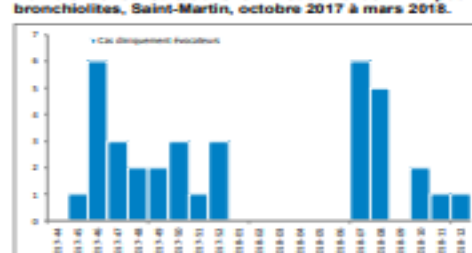
Graph 9. Saint Martin: Number of ILI consultations, 2015-2018, EW 12

Número de consultas de ETI, 2015-2018, SE 12
Nombre de consultations en médecine de ville pour syndromes grippaux, Saint-Martin, octobre 2017 à mars 2018.



Graph 10. Saint Martin : Number of bronchiolitis consultations, 2015-2018, EW 12

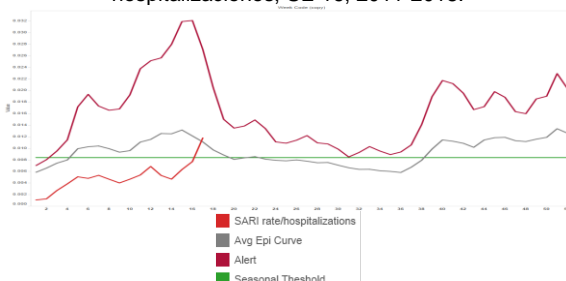
Número de consultas de bronquiolitis, 2015-2018, SE 12
Nombre de consultations en médecine de ville pour bronchiolites, Saint-Martin, octobre 2017 à mars 2018.



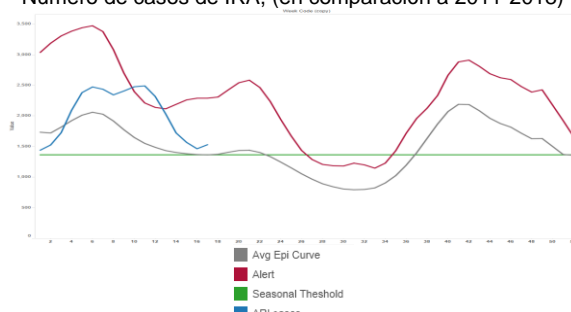
Jamaica

- During EW 16, SARI and pneumonia activity increased from the previous weeks and remained low as compared to the previous seasons 2011-2017 for the same period (Graphs 1,2). During EW 16, decreased influenza detections were reported, influenza A(H1N1)pdm09, A(H3N2) and B co-circulated (Graph 4) in recent weeks. / Durante la SE 16 de 2018, las actividades de IRAG y neumonía aumentaron respecto a las semanas previas y permanecieron menor en relación a las temporadas previas 2011-2017 para el mismo período (Gráficos 1, 2). Durante las SE 16, se reportaron menores detecciones de influenza; co-circularon influenza A(H1N1)pdm09, A(H3N2) y B en semanas previas (Gráfico 4).

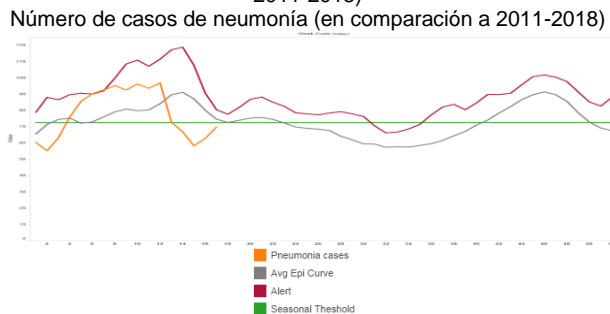
Graph 1. Jamaica: % SARI hospitalizations among total hospitalizations, EW 16, 2011-2018. / % hospitalizaciones de casos IRAG entre total de hospitalizaciones, SE 16, 2011-2018.



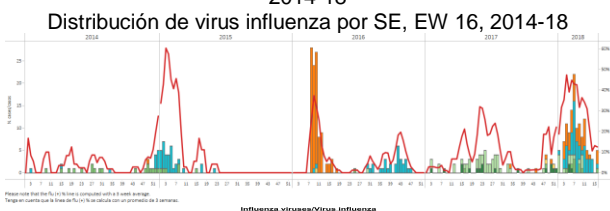
Graph 3. Jamaica: Number of ARI cases (compared to 2011-2018) Número de casos de IRA, (en comparación a 2011-2018)



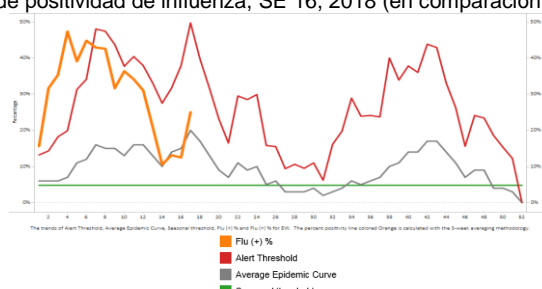
Graph 2. Jamaica: Number of pneumonia cases (compared to 2011-2018) Número de casos de neumonía (en comparación a 2011-2018)



Graph 4. Jamaica: Influenza virus distribution by EW, EW 16, 2014-18 Distribución de virus influenza por SE, EW 16, 2014-18



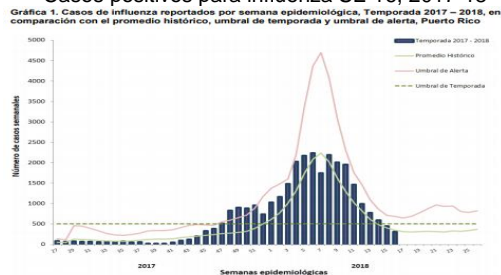
Graph 5. Jamaica: Percent positivity for influenza, EW 16, 2018 (in comparison to 2010-2017) Porcentaje de positividad de influenza, SE 16, 2018 (en comparación a 2010-2017)



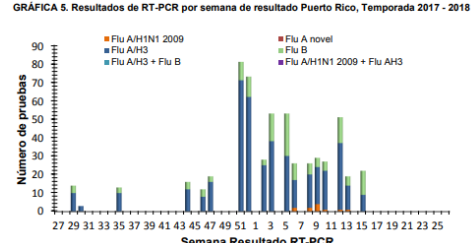
Puerto Rico

- During EW 16, influenza detections decreased at the seasonal threshold, with decreased detections. Influenza A(H3N2), A(H1N1)pdm09 and B co-circulated (Graph 1,2). ILI activity remained below the average epidemic curve (Graph 3) / Durante la SE 16, las detecciones de influenza disminuyeron en el umbral estacional, con menores detecciones. Co-circularon influenza A(H3N2), A(H1N1)pdm09 y B (Gráfico 1,2). La actividad del ETI se mantuvo por debajo de la curva epidémica media (Gráfico 3).

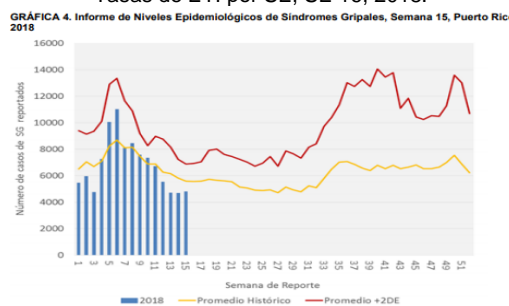
Graph 1. Puerto Rico: Influenza-positive cases by EW 16, 2017-18
Casos positivos para influenza SE 16, 2017-18



Graph 2. Puerto Rico: PCR influenza-positive results by subtype by EW, 2017-2018. EW 16. / Resultados de PCR positivos para influenza por subtipo y SE, 2017-2018, SE 16.



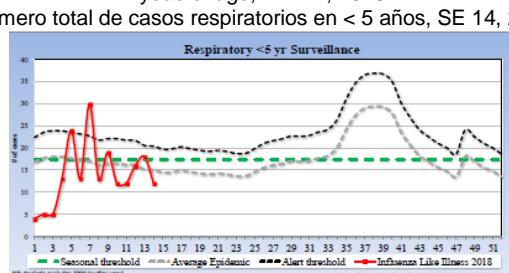
Graph 3. Puerto Rico: ILI epidemic rates by EW 16, 2018 / Tasas de ETI por SE, SE 16, 2018.



Saint Lucia

- During EW 14, 2018, the number of cases with respiratory symptoms among children under 5 years of age and among 5 years-of-age and older were below the seasonal levels (Graph 1,2). SARI activity decreased as compared to the 2016-2017 seasons (Graph 5), with 47.1% of all SARI admissions among the 1 to 4 years of age population (Graph 3). / Durante la SE 14 de 2018, el número de casos con síntomas respiratorios en niños menores de 5 años de edad y de niños de 5 años o se reportaron bajo los niveles estacionales (Gráfico 1,2). La actividad de IRAG disminuyó en comparación con las temporadas 2016-2017 (Gráfico 5), con el 47,1% del total de admisiones por IRAG entre el grupo de 1 y 4 años de edad (Gráfico 3).

Graph 1. Saint. Lucia: Total number of respiratory cases in <5 years of age, EW 14, 2018
Número total de casos respiratorios en < 5 años, SE 14, 2018

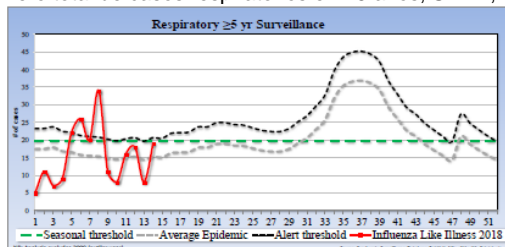


Graph 3. Saint. Lucia: Distribution of respiratory cases by age groups, EW 14, 2018
Distribución de los casos respiratorios por provincia, SE 14, 2018

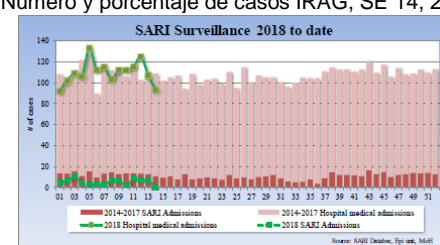


Graph 2. Saint. Lucia: Total number of cases for respiratory symptoms in >5 years og age, EW 14, 2018
Número total de casos respiratorios en >5 años, SE 14, 2018

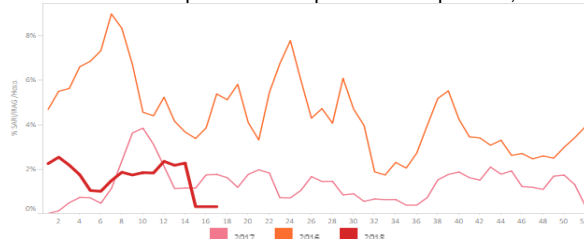
Número total de casos respiratorios en >5 años, SE 14, 2018



Graph 4. Saint. Lucia: Number and % of SARI cases, EW 14, 2018 / Número y porcentaje de casos IRAG, SE 14, 2018



Graph 5. Saint Lucia: Percent of SARI cases per total hospitalizations by year, 2016-2018, EW 16. / Porcentaje de casos de IRAG por todos hospitalizaciones por año, 2016-2018, SE 16.



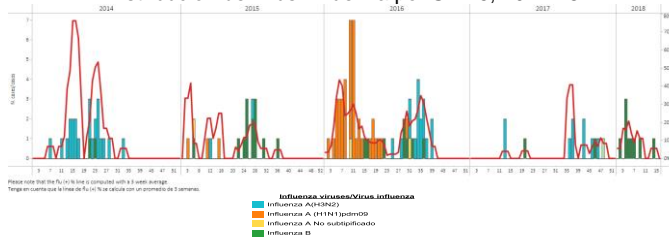
Suriname

- During EW 16, 2018, ILI cases increased and SARI-related hospitalizations decreased from previous weeks and were lower, as compared to the 2017 season, for the same period (Graph 1, 2). Influenza activity remained at low levels with influenza B predominating (Graph 3, 5); low RSV detections were also reported (Graph 4). / Durante la SE 16 de 2018, los casos de ETI aumentaron y las hospitalizaciones relacionadas con IRAG disminuyeron en relación a semanas previas y fueron menores, en comparación a los niveles observados en la temporada 2017 para el mismo período (Gráfico 1, 2). La actividad de influenza permaneció a niveles bajos con predominio de influenza B (Gráfico 3, 5); bajas de tecciones de VSR fueron también reportadas (Gráfico 4).

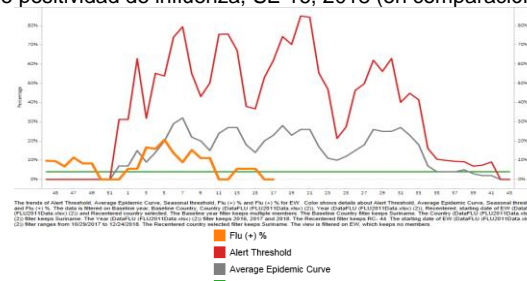
Graph 1. Suriname: Number of ILI cases, by age, by EW, 2018.EW 16
Número de casos ETI, en grupo de edad, por SE, 2018, SE 16



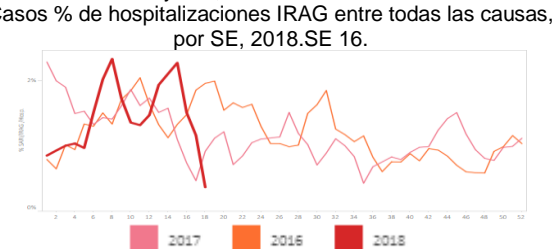
Graph 3. Suriname: Influenza virus distribution by EW 16, 2014-18
Distribución de virus influenza por SE 16, 2014-18



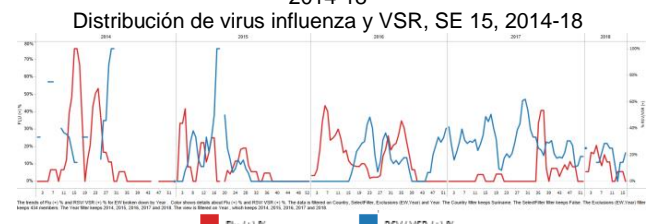
Graph 5. Suriname: Percent positivity for influenza, EW 16,2018 (in comparision to 2010-2017)
Porcentaje de positividad de influenza, SE 16, 2018 (en comparación a 2010-2017)



Graph 2. Suriname: % SARI hospitalizations among all causes, by EW, 2018.EW 16.
Casos % de hospitalizaciones IRAG entre todas las causas, por SE, 2018.SE 16.



Graph 4. Suriname: Influenza and RSV distribution, EW 15, 2014-18
Distribución de virus influenza y VSR, SE 15, 2014-18



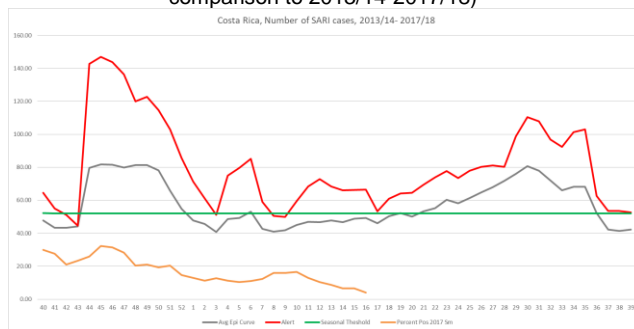
Costa Rica

- During EW 15, in Costa Rica, the number of SARI cases continued to decrease and were below seasonal levels (Graph 3). Influenza activity decreased, as compared to the previous week with influenza A(H3N2) predominating. Influenza activity during EW 15, 2018 was similar to the 2017 season for the same period and RSV activity remained at low levels (Graph 1, 2). / Durante la SE 15, en Costa Rica, el número de casos de IRAG continuó en disminución y se ubicó por debajo de los niveles estacionales (Gráfico 3). La actividad de influenza disminuyó, en comparación con la semana previa con predominio de influenza A(H3N2). La actividad de influenza durante la SE 15 fue similar a la temporada 2017 para el mismo período y la actividad VSR permaneció a niveles bajos (Gráficos 1, 2).

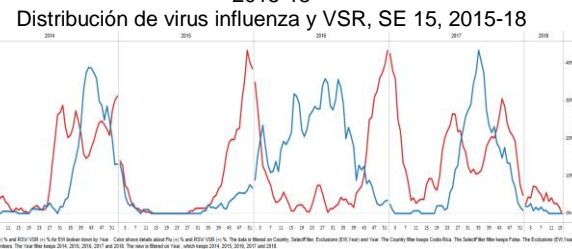
Graph 1. Costa Rica: Influenza virus distribution, Lab-confirmed samples, by EW 15, 2014-18



Graph 3. Costa Rica: Number of SARI cases, SE 15, 2017/2018 (in comparison to 2013/14-2017/18)

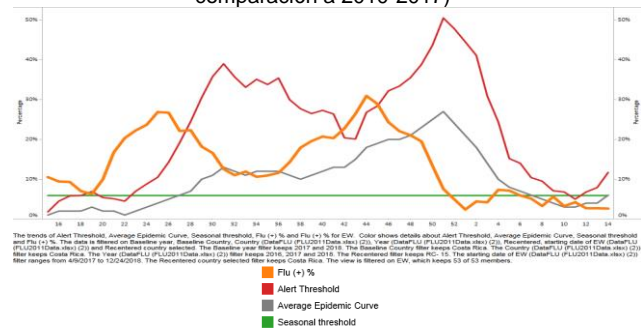


Graph 2. Costa Rica: Influenza and RSV distribution, EW 15 2015-18



Graph 4. Costa Rica: Percent positivity for influenza, EW 14, 2017-18 (in comparison to 2010-2017)

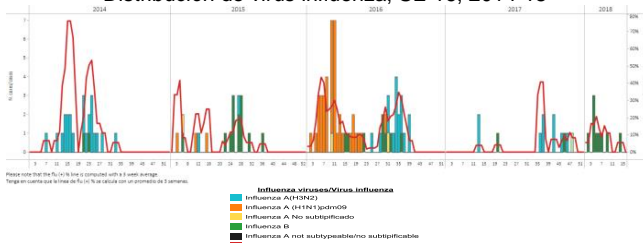
Porcentaje de positividad de influenza, SE 14, 2017-18 (en comparación a 2010-2017)



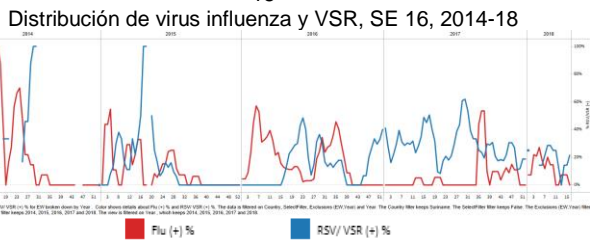
El Salvador

- During EW 16, influenza activity decreased and remained below the alert threshold with influenza B predominating in previous weeks (Graphs 1, 3). RSV positivity remained lower than the levels observed in the previous season (Graph 2). During EW 16, 2018 SARI case counts slightly increased while pneumonia case counts decreased from the previous weeks and were lower to levels observed in the 2016-2017 seasons (Graph 4, 5) / Durante la SE 16 la actividad de influenza disminuyó, con predominio de influenza B en semanas previas (Gráficos 1, 3). La positividad de VSR permaneció menor a los niveles observados en la temporada anterior (Gráfico 2). Durante la SE 16 de 2018, los casos IRAG aumentaron ligeramente en tanto los casos de neumonía disminuyeron en relación a los de las semanas anteriores y fueron menores a los niveles registrados en las temporadas 2016-2017 (Gráficos 4, 5).

Graph 1. El Salvador: Influenza virus distribution, EW 16, 2014-18

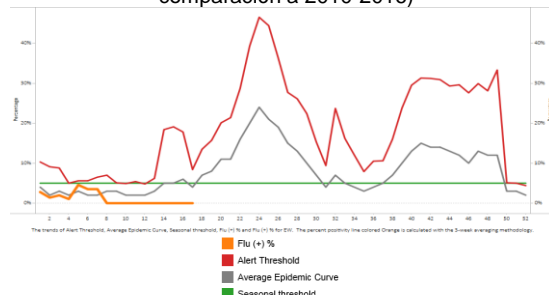


Graph 2. El Salvador: Influenza and RSV distribution, EW 16, 2014-18



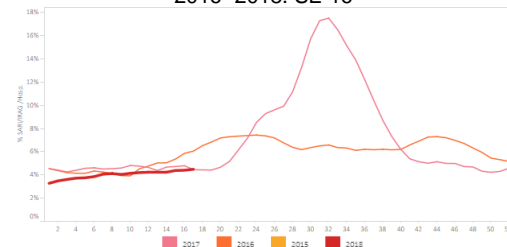
**Graph 3. El Salvador: Percent positivity for influenza, EW 16, 2018
(in comparision to 2010-2016)**

Porcentaje de positividad de influenza, SE 16, 2018 (en comparación a 2010-2016)

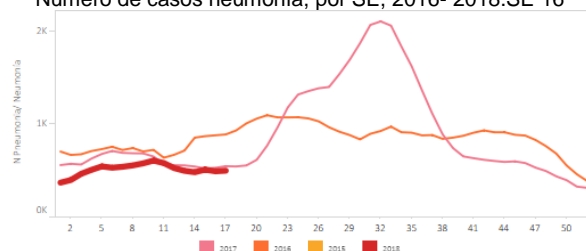


Graph 4. El Salvador: Percent of SARI cases out of total hospitalizations, by EW, 2016- 2018. EW 16.

Porcentaje de casos por IRAG de todos hospitalizaciones, por SE, 2016- 2018. SE 16



**Graph 5. El Salvador: Number of pneumonia cases, by EW, 2016- 2018.EW 16.
Número de casos neumonía, por SE, 2016- 2018.SE 16**



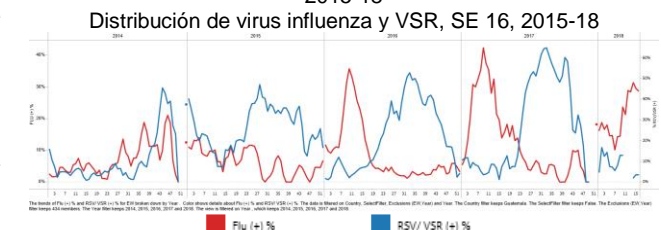
Guatemala

- During EW 16, 2018, decreased influenza detections were reported with influenza A(H1N1)pdm09 and A(H3N2) predominating in recent weeks (Graph 1). The influenza proportion was similar to the previously reported levels from 2016-2017 season for the same period, while RSV activity remained at low levels (Graph 2). During EW 15, the percent of SARI hospitalizations remained at similar levels from previous weeks, while ILI activity increased (Graph 4, 5). / Durante la SE 16 de 2018, se reportó ligero descenso en las detecciones de influenza con predominio de influenza A(H1N1)pdm09 y A(H3N2) en semanas recientes (Gráfico 1). La proporción de influenza fue similar a los niveles reportados de la temporada 2016-2017, para el mismo período, en tanto la actividad de VSR permaneció a niveles bajos (Gráfico 2). Durante la SE 15, el porcentaje de hospitalizaciones por IRAG permaneció a niveles similares de semanas previas, mientras que la actividad de ETI aumentó (Gráficos 4, 5).

**Graph 1. Guatemala. Influenza virus distribution EW 16, 2014-18
Distribución de influenza SE 16, 2014-18**

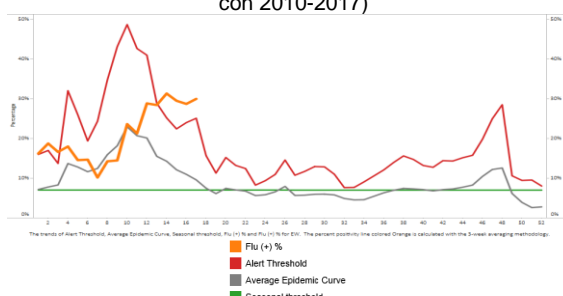


**Graph 2. Guatemala: Influenza and RSV distribution, EW 16, 2015-18
Distribución de virus influenza y VSR, SE 16, 2015-18**



Graph 3. Guatemala: Percent positivity for influenza, EW 16, 2018 (in comparision to 2010-2017)

Porcentaje de positividad de influenza, SE 16, 2018 (en comparación con 2010-2017)



Graph 4. Guatemala: Percent of SARI hospitalizations, by EW, 2017-2018.EW 15

Porcentaje de hospitalizaciones IRAG, por SE, 2017-2018.SE 15



Graph 5. Guatemala: Percent of ILI cases per total consultations, EW 15, 2018
Porcentaje de casos ETI por todas consultas, SE 15, 2018



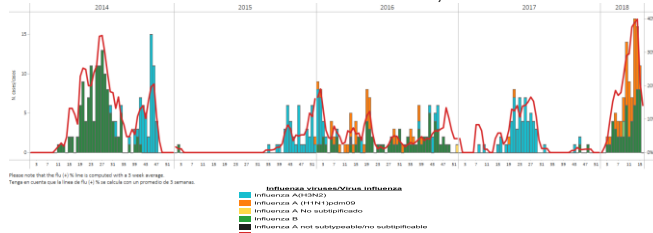
Graph 6. Guatemala: Number of pneumonia cases, EW 15, 2018
Número de casos neumonía, SE 15, 2018



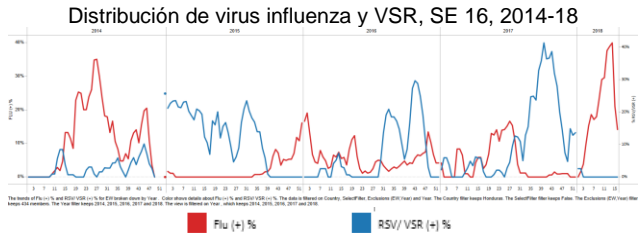
Honduras

- During EW 16, at national level, influenza activity decreased below the seasonal threshold (Graph 3) and continued at higher levels with influenza A(H1N1)pdm09 and B predominating (Graph 1,3); no RSV detections were reported (Graph 2). In EW 15, the percent of SARI hospitalizations increased from levels observed in the previous season for the same period (Graph 4). / Durante la SE 16 de 2018, a nivel nacional, la actividad de influenza disminuyó bajo el umbral estacional (Gráfico 3) y continuó a niveles altos con predominio de influenza A(H1N1)pdm09 y B (Gráficos 1, 3); no se reportaron detecciones de VSR (Gráfico 2). En la SE 15, el porcentaje de hospitalizaciones por IRAG aumentó respecto a los niveles observados en la temporada previa para el mismo período (Gráfico 4).

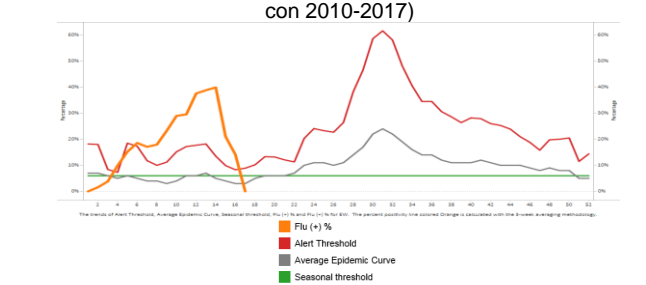
Graph 1. Honduras. Influenza virus distribution EW 16, 2014-18
Distribución de influenza SE 16, 2014-18



Graph 2. Honduras: Influenza and RSV distribution, EW 16, 2014-18
Distribución de virus influenza y VSR, SE 16, 2014-18



Graph 3. Honduras : Percent positivity for influenza, EW 16, 2018 (in comparision to 2010-2017)
Porcentaje de positividad de influenza, SE 16, 2018 (en comparación con 2010-2017)



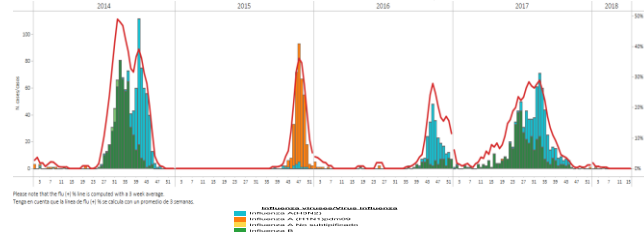
Graph 4. Honduras: Percent of SARI hospitalizations, by EW, 2017-2018.EW 15
Porcentaje de hospitalizaciones IRAG, por SE, 2017-2018.SE 15



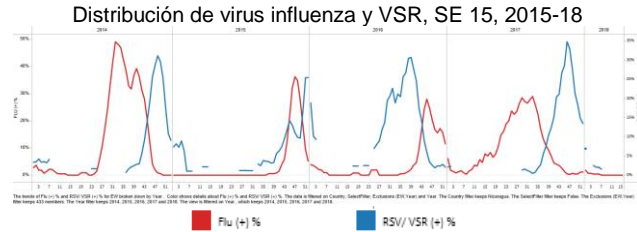
Nicaragua

- During EW 15, at national level, influenza activity continued at low levels and below the seasonal threshold (Graph 1, 3); and RSV detections decreased (Graph 2). Influenza A(H3N2) and B co-circulating in previous weeks (Graph 1). / Durante la SE 15, a nivel nacional, la actividad de influenza continuó a niveles bajos y bajo el umbral estacional (Gráficos 1, 3); y las detecciones de VSR disminuyeron (Gráfico 2). Influenza A(H3N2) y B co-circularon en semanas previas.

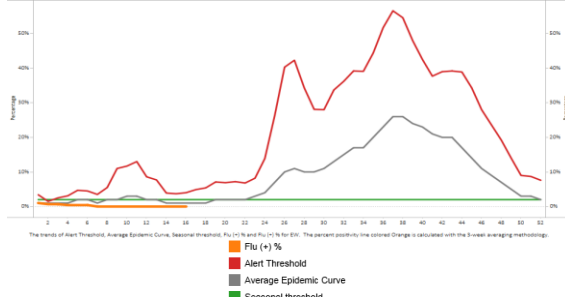
Graph 1. Nicaragua. Influenza virus distribution EW 15, 2014-18
Distribución de influenza SE 15, 2014-18



Graph 2. Nicaragua: Influenza and RSV distribution, EW 15, 2015-18
Distribución de virus influenza y VSR, SE 15, 2015-18



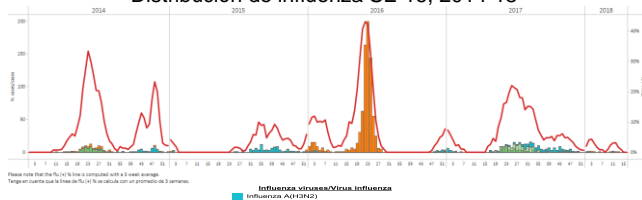
Graph 3. Nicaragua : Percent positivity for influenza, EW 15, 2018 (in comparision to 2010-2017)
 Porcentaje de positividad de influenza, SE 15, 2018 (en comparación a 2010-2017)



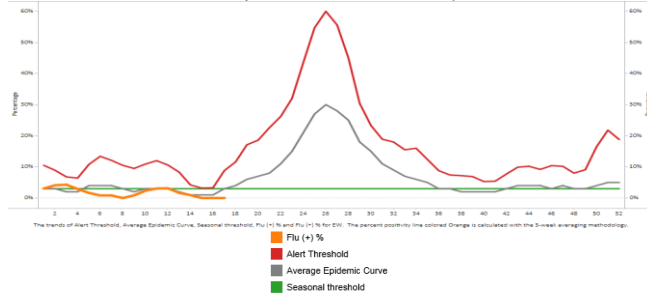
Panama

- During EW 16, at national level, influenza activity continued at low levels (Graph 1,3) with influenza A(H1N1)pdm09 predominating and RSV detections decreasing (Graph 2). During EW 15, SARI cases were similar to the counts reported in previous weeks (Graph 4) / Durante SE 16, a nivel nacional, la actividad de influenza continuó a niveles bajos (Gráficos 1, 3) con predominio de influenza A(H1N1)pdm09, y disminución de las detecciones de VSR (Gráfico 2). En la SE 15, los casos de IRAG fueron similares a los recuentos reportados en semanas previas (Gráfico 4).

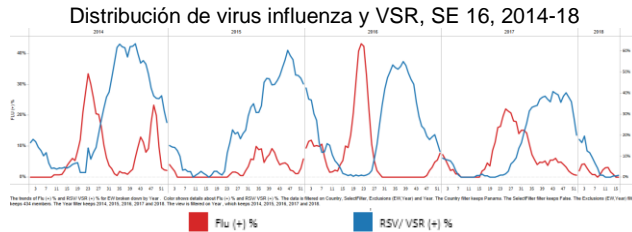
Graph 1. Panama. Influenza virus distribution EW 16, 2014-18
 Distribución de influenza SE 16, 2014-18



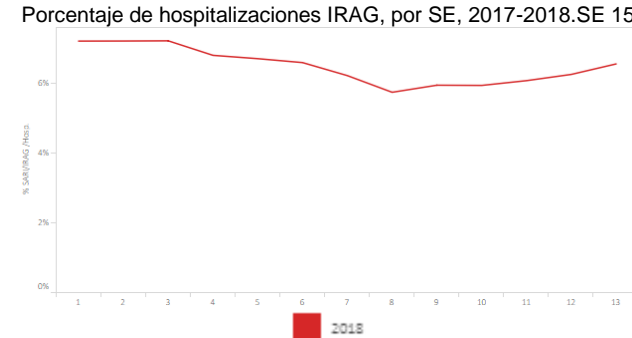
Graph 3. Panama : Percent positivity for influenza, EW 16, 2018 (in comparision to 2010-2017)
 Porcentaje de positividad de influenza, SE 16, 2018 (en comparación a 2010-2017)



Graph 2. Panama: Influenza and RSV distribution, EW 16, 2014-18
 Distribución de virus influenza y VSR, SE 16, 2014-18



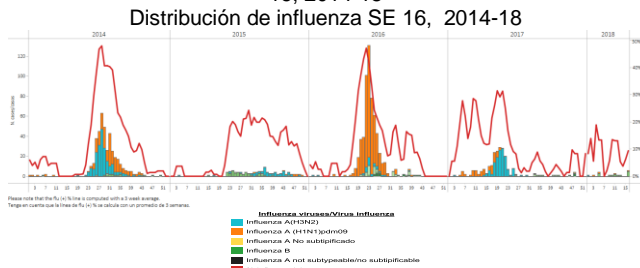
Graph 4. Panama: Percent of SARI hospitalizations, by EW, 2017-2018.EW 15
 Porcentaje de hospitalizaciones IRAG, por SE, 2017-2018.SE 15



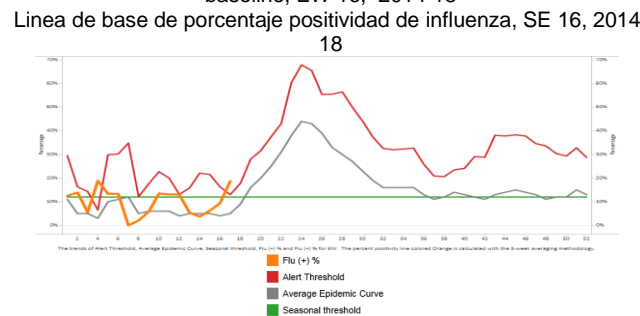
Bolivia

- During EW 16, at national level, SARI cases were slightly higher than in previous weeks and similar to the 2017 season for the same period (Graph 7). In La Paz, in EW 16, influenza activity slightly increased, as compared to previous weeks and influenza percent positivity and RSV positivity were lower than in previous seasons (Graphs 2, 3). In Santa Cruz, in EW 16, SARI activity increased associated to the increased influenza activity, with influenza B and A(H1N1)pdm09 co-circulating (Graphs 4, 5). / En la SE 16, a nivel nacional los casos de IRAG fueron ligeramente superiores a las semanas previas y similar a la temporada 2017 para el mismo período (Grafico 7). En La Paz, en la SE 16, la actividad de influenza aumentó ligeramente, en comparación con semanas previas y el porcentaje de positividad para influenza y para VSR fueron menores que los registrados en la temporada (Gráficos 2, 3). En Santa Cruz, en la SE 16 la actividad de IRAG aumentó asociada a incremento en la circulación de influenza, con co-circulación de influenza B y A(H1N1)pdm09 (Gráficos 4, 5).

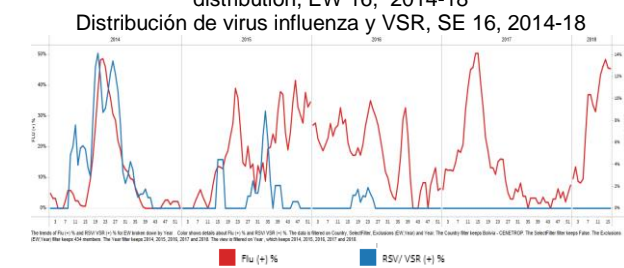
Graph 1. Bolivia INLASA (La Paz). Influenza virus distribution EW 16, 2014-18
Distribución de influenza SE 16, 2014-18



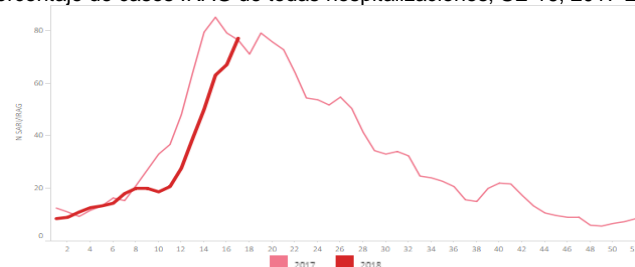
Graph 3. Bolivia INLASA (La Paz): Influenza percent positivity baseline, EW 16, 2014-18
Línea de base de porcentaje positividad de influenza, SE 16, 2014-18



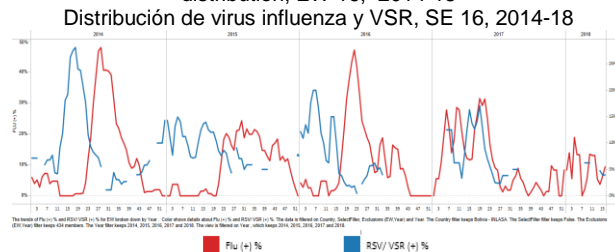
Graph 5. Bolivia CENETROP (Santa Cruz): Influenza and RSV distribution, EW 16, 2014-18
Distribución de virus influenza y VSR, SE 16, 2014-18



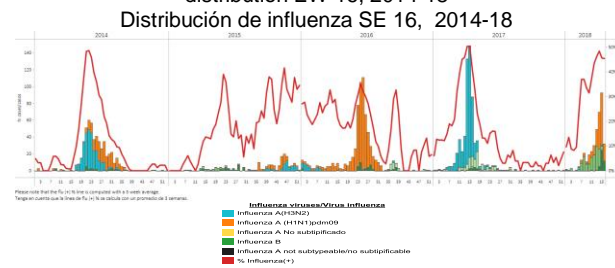
Graph 7. Bolivia: Percent of SARI cases out of total hospitalizations, EW 16, 2017-2018
Porcentaje de casos IRAG de todas hospitalizaciones, SE 16, 2017-2018



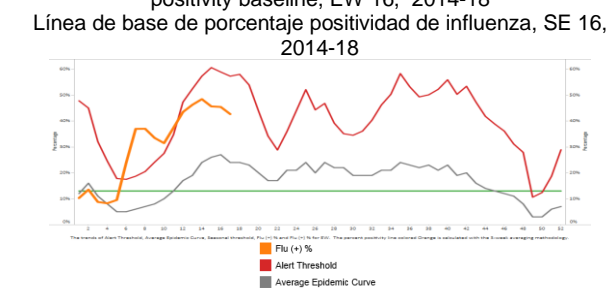
Graph 2. Bolivia INLASA (La Paz): Influenza and RSV distribution, EW 16, 2014-18
Distribución de virus influenza y VSR, SE 16, 2014-18



Graph 4. Bolivia CENETROP (Santa Cruz): Influenza virus distribution EW 16, 2014-18
Distribución de influenza SE 16, 2014-18

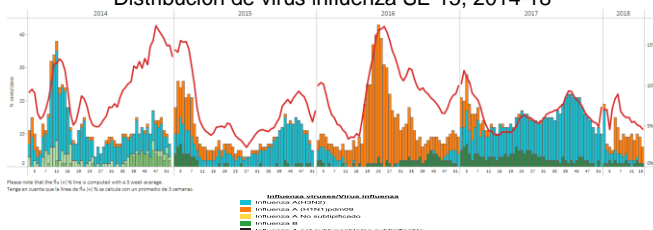


Graph 6. Bolivia CENETROP (Santa Cruz): Influenza percent positivity baseline, EW 16, 2014-18
Línea de base de porcentaje positividad de influenza, SE 16, 2014-18

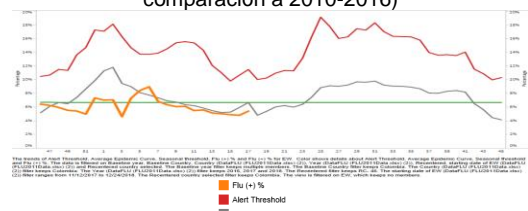


- During EW 15, at national level, SARI cases were lower as compared to the previous seasons for the same period (Graph 4). In EW 15, influenza activity decreased as compared to the previous weeks and with influenza A(H1N1)pdm09 predominating (Graphs 1, 3); while RSV percent positivity decreased from previous weeks (Graph 2). During EW 16, pneumonia and ARI activities increased at seasonal levels, as compared to the 2012-2017 seasons (Graph 5, 6). At the state level, the states of Guainía and Vaupés reported higher ARI activity this season, as compared to the 2017 season (Graph 8). At national level, the death rate for the 2018 season (2.8 per 100.000 population) in infants under 5 years of age was similar to the previous season for the same period (2.6), with increased death cases in Cauca and Barranquilla. / En la SE 15, a nivel nacional los casos de IRAG fueron menores en comparación a las temporadas previas para el mismo período (Grafico 4). Durante la SE 15, la actividad de influenza disminuyó en comparación a las semanas anteriores y con predominio de influenza A(H1N1)pdm09 (Gráficos 1, 3); en tanto la positividad de VSR disminuyó en relación a las semanas previas (Gráfico 2). Durante la SE 16, la actividad de neumonía y la actividad de IRA aumentaron a niveles estacionales, en comparación con las temporadas 2012-2017 (Gráficos 5, 6). A nivel estatal, los estados de Guainía y Vaupés reportaron mayor actividad de IRA esta temporada, en comparación con la temporada 2017 (Gráfico 8). A nivel nacional, la tasa de muertes para la temporada 2018 (2,8 por 100.000 habitantes) en niños menores de 5 años fue similar a la temporada previa para el mismo período (2,6) con mayor recuento de muertes en Cauca y Barranquilla.

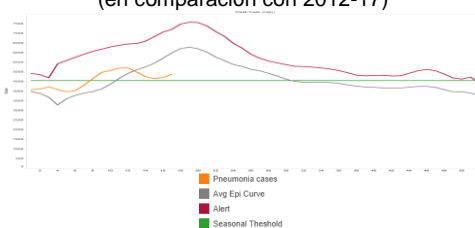
Graph 1. Colombia. Influenza virus distribution EW 15, 2014-18
Distribución de virus influenza SE 15, 2014-18



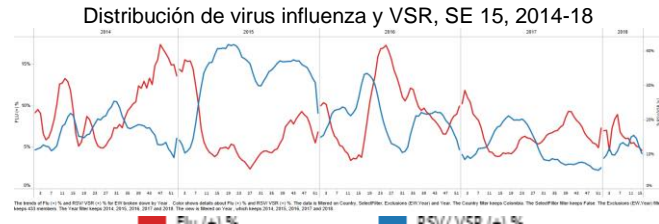
Graph 3. Colombia: Percent positivity for influenza, EW 15, 2017-18
(in comparison to 2010-2016)
Porcentaje de positividad de influenza, SE 15, 2017-18 (en comparación a 2010-2016)



Graph 5. Colombia: Number of pneumonia-related hospitalizations,
by EW 16, 2018 (in comparison with 2012-17)
Número de hospitalización asociado a neumonía, por SE 16, 2018
(en comparación con 2012-17)

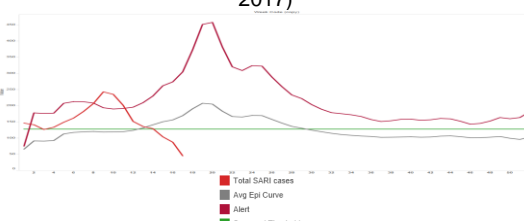


Graph 2. Colombia: Influenza and RSV distribution, EW 15, 2014-18
Distribución de virus influenza y VSR, SE 15, 2014-18



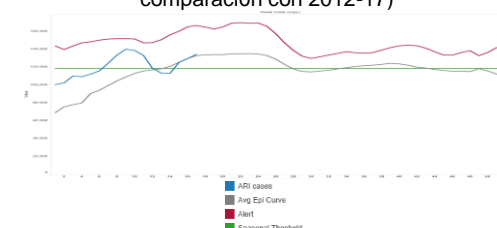
Graph 4. Colombia: Number of SARI cases, EW 16, 2018 (in
comparison to 2010-2017)

Número de casos de IRAG, SE 16, 2018 (en comparación a 2010-2017)

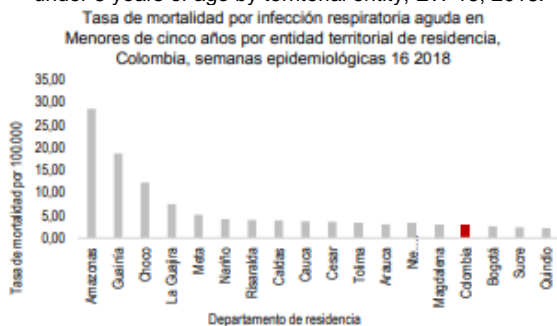


Graph 6. Colombia: Number of ARI cases, EW 16 (from all
consultations), (in comparison with 2012-17)

Número de los casos IRA, SE 16 (de todas consultas), (en
comparación con 2012-17)

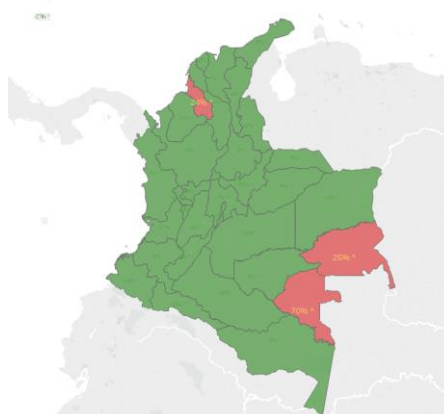


Graph 7. Colombia: ARI-related death rates reported among children under 5 years of age by territorial entity, EW 16, 2018.



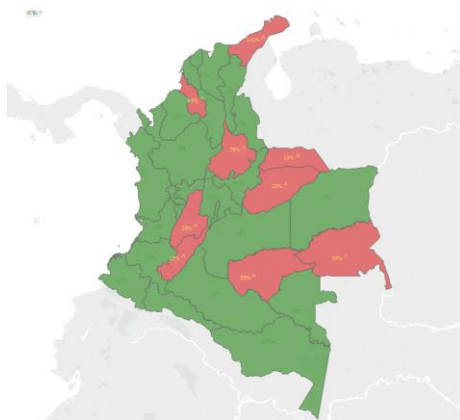
Graph 8: Colombia: Diferencia porcentaje de IRA 2018 y 2017, números acumulados hasta la SE 16

Colombia: ARI % diff between 2018 and 2017
Cumulative numbers up to EW 16



Graph 8: Colombia: Diferencia porcentaje de neumonía entre 2018 y 2017, números acumulados hasta la SE 16

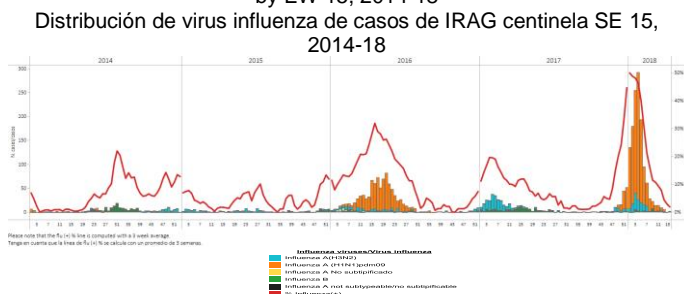
Colombia: PNEUM % diff between 2018 and 2017
Cumulative numbers up to EW 16



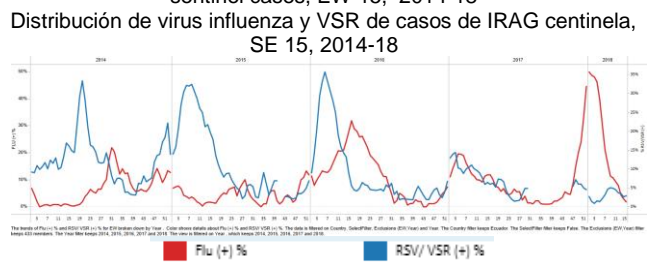
Ecuador

- During EW 13, at national level, SARI cases decreased from previous weeks and were below the alert threshold (Graph 4). During EW 15, influenza activity was low as compared to the previous weeks, and influenza percent positivity and RSV percent positivity were lower than levels reported during the prior season for the same period (Graph 1, 2). / En la SE 13, a nivel nacional los casos de IRAG fueron menores a las semanas previas y estuvieron por debajo el umbral de alerta (Grafico 4). En la SE 15, la actividad de influenza fue baja en comparación con semanas previas y el porcentaje de positividad para influenza y para VSR fueron menores que los registrados en la temporada previa para el mismo período (Gráficos 1, 2).

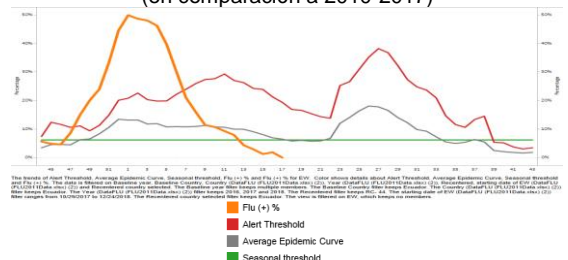
Graph 1. Ecuador: Influenza virus distribution from SARI sentinel cases by EW 15, 2014-18



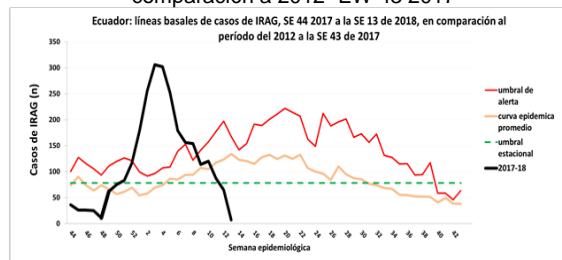
Graph 2. Ecuador: Influenza and RSV distribution from SARI sentinel cases, EW 15, 2014-18



Graph 3. Ecuador: Percent positivity for all influenza cases, EW 15, 2018 (in comparision to 2010-2017)
Porcentaje de positividad de todos los casos de influenza, SE 15, 2018 (en comparación a 2010-2017)

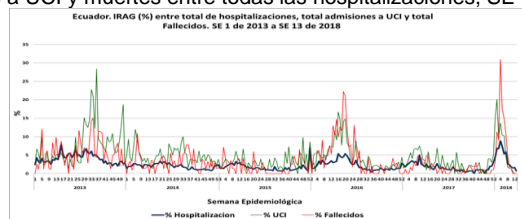


Graph 4. Ecuador: Distribution of SARI cases from EW 44, 2017 to EW 13, 2018 in comparison to 2012-EW 43 of 2017 / Distribución de los casos de IRAG desde SE 44, 2017 a SE 13, 2018 en comparación a 2012- EW 43 2017



Graph 5. Ecuador: Percentage of SARI hospitalizations, UCI admissions and deaths of all hospitalizations, EW 13, 2018 (in comparison with 2012-17)

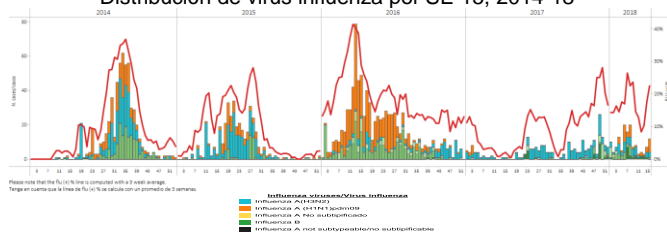
Porcentaje de casos IRAG, admisiones a UCI y muertes entre todas las hospitalizaciones, SE 13, 2018 (en comparación con 2012-17)



Peru

- During EW 15, at national level, SARI cases among all hospitalizations remained at low levels (Graph 4). In EW 15, influenza activity increased above the average epidemic curve, with influenza A(H1N1)pdm09 predominating (Graph 1, 3). Influenza positivity and RSV positivity increased, as compared to the previous weeks and were similar to levels observed in 2017 for the same period (Graph 2). At national level, pneumonia cases in infants under 5 year of age remained lower than in 2016-2017 for the same period (Graph 6,7); 11 departments reported pneumonia cumulative incidences higher than the national rates (16.91 cases per 10,000 population): Amazonas, Arequipa, Callao, Cusco, Huanuco, Lima, Loreto, Madre de Dios, Pasco, Tumbes and Ucayali (Graph 8). / En la SE 15, a nivel nacional, los casos IRAG entre el total de hospitalizaciones permaneció en niveles bajos (Gráfico 4). Durante la SE 15, la actividad de influenza aumentó sobre la curva epidémica promedio, con predominio de influenza A(H1N1)pdm09 (Gráficos 1,3). Tanto la positividad de influenza como de VSR aumentaron, en comparación con las semanas anteriores y fueron similares a los niveles observados en 2017 para el mismo período (Gráfico 2). A nivel nacional, los casos de neumonía en niños menores de 5 años permaneció baja en relación a 2016-2017 para el mismo período (Gráficos 6,7); 11 departamentos reportaron incidencias acumuladas de neumonía mayores que las tasas nacionales (16,91 casos por 10.000 habitantes): Amazonas, Arequipa, Callao, Cusco, Huanuco, Lima, Loreto, Madre de Dios, Pasco, Tumbes y Ucayali (Gráfico 8).

Graph 1. Peru: Influenza virus distribution by EW 15, 2014-18
Distribución de virus influenza por SE 15, 2014-18

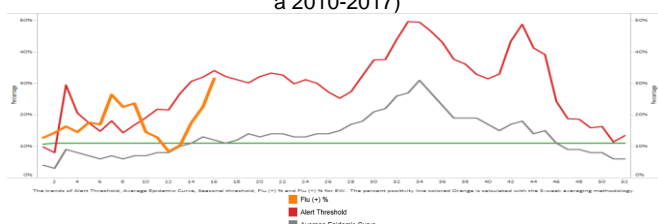


Graph 2. Peru: Influenza and RSV distribution, EW 15, 2014-18
Distribución de virus influenza y VSR, SE 15, 2014-18



Graph 3. Perú: Percent positivity for influenza, EW 15, 2018 (in comparision to 2010-2017)
Porcentaje de positividad de influenza, SE 15, 2018 (en comparación a 2010-2017)

Porcentaje de positividad de influenza, SE 15, 2018 (en comparación a 2010-2017)

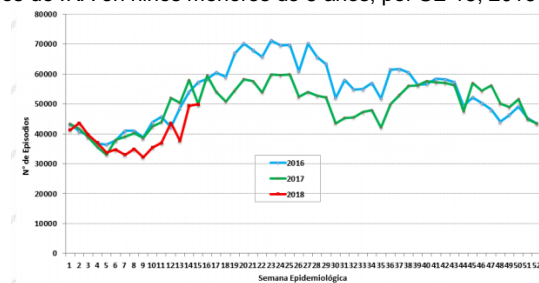


Graph 4. Peru: Number of SARI cases out of all hospitalizations, by EW 15, 2018 (in comparison with 2015-17)
Número de casos IRAG de todas las hospitalizaciones, por SE 15, 2018 (en comparación con 2015-17)



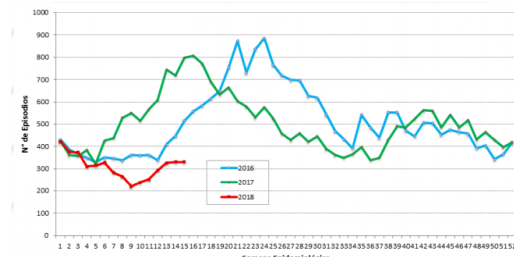
Graph 5. Peru. ARI cases in children under 5 years, by EW 15, 2016-2018

Casos de IRA en niños menores de 5 años, por SE 15, 2016-2018.

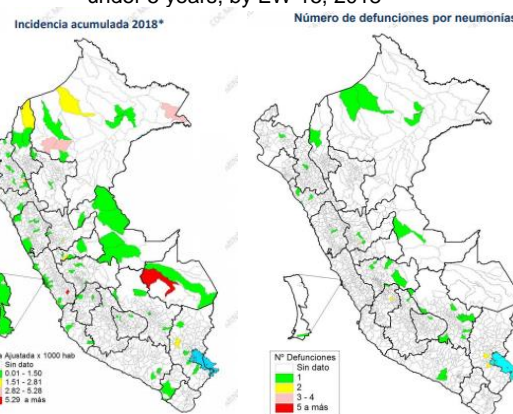


Graph 7. Peru: Pneumonia cases in children under 5 years, by EW 15, 2016-2018

Casos de neumonía en niños menores de 5 años, por SE 15, 2016-2018

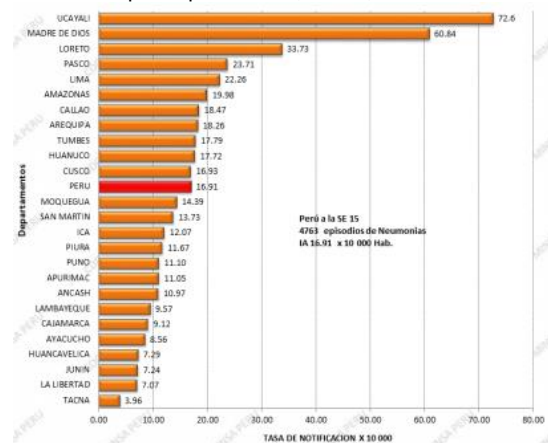


Graph 6 Peru: Map of pneumonia cases and deaths in children under 5 years, by EW 15, 2018



Graph 8. Peru: Pneumonia cumulative incidence in children under 5 years, by department. EW 15, 2018

Peru: Incidencia acumulada de neumonía en menores de 5 años, por departamento, SE 15, 2018.

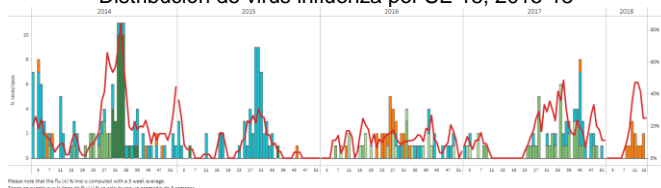


Venezuela

- During EW 15, influenza activity remained at low levels with influenza A(H1N1)pdm09 predominating (Graph 1, 2). Up to EW 15, no RSV detections were reported. / En la SE 15 la actividad de influenza se mantuvo baja con predominio de influenza A(H1N1)pdm09 (Gráficos 1, 2). A la SE 15, no se reportaron detecciones por VSR (Gráfico 2).

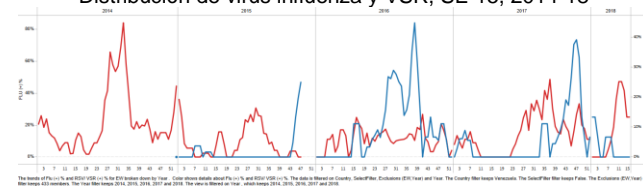
Graph 1. Venezuela: Influenza virus distribution by EW 15, 2015-18

Distribución de virus influenza por SE 15, 2015-18



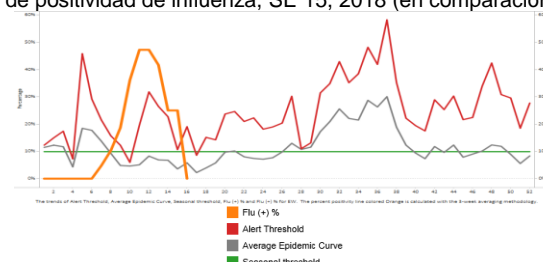
Graph 2. Venezuela: Influenza and RSV distribution, EW 15, 2014-18

Distribución de virus influenza y VSR, SE 15, 2014-18



Graph 3. Venezuela: Percent positivity for influenza, EW 15, 2018 (in comparision to 2010-2017)

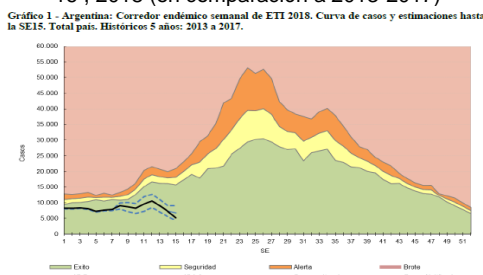
Porcentaje de positividad de influenza, SE 15, 2018 (en comparación a 2010-2017)



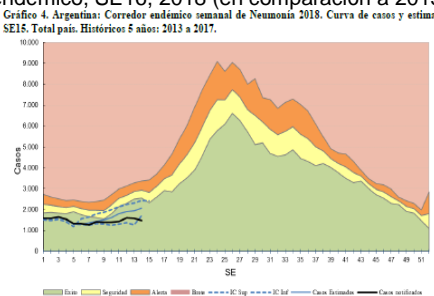
Argentina

- During EW 16, at national level, the number of SARI cases were slightly higher than previous weeks and below the alert threshold (Graph 2). Pneumonia and bronchiolitis activity in younger than 2 years-of-age were low for the period (Graph 3, 4). During EW 15, influenza activity increased as compared with the previous weeks with overall few samples tested, and influenza B predominating (Graph 5). RSV positivity was lower than levels reported during the previous season for the same period (Graph 6). / En la SE 16, a nivel nacional los casos de IRAG fueron ligeramente superiores a las semanas previas y están por debajo el umbral de alerta (Gráfico 2). Tanto la actividad de neumonía como de bronquiolitis en menores de 2 años fueron bajas para el período (Gráficos 3, 4). En la SE 15, la actividad de influenza aumentó en comparación con semanas previas, con recuento bajo de muestras estudiadas, y predominio de influenza B (Gráfico 5). El porcentaje de positividad para VSR fue menor que los registrados en la temporada previa para el mismo período (Gráficos 6).

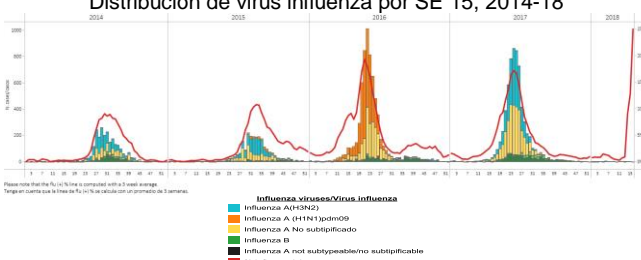
Graph 1. Argentina. ILI cases. Endemic channel, EW 16, 2018 (compared to 2013-2017) / Casos de ETI. Corredor endémico, SE 16 , 2018 (en comparación a 2013-2017)



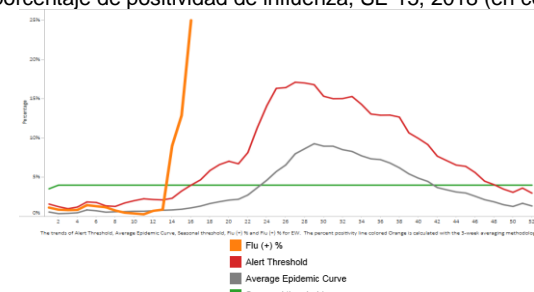
Graph 3. Argentina. Pneumonia cases. Endemic channel, EW 16, 2018 (compared to 2013-2017) / Casos de neumonía. Corredor endémico, SE16, 2018 (en comparación a 2013-2017)



Graph 5. Argentina. Influenza virus distribution by EW 15, 2014-18
Distribución de virus influenza por SE 15, 2014-18

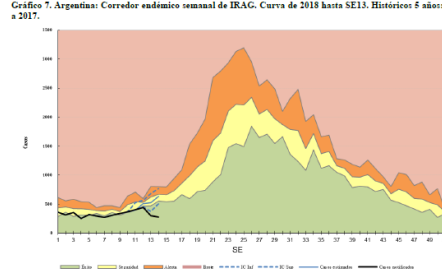


Graph 7. Argentina: Baseline for the percent positivity for influenza, EW 15, 2018 (in comparison to 2010-2017)
Línea basal para el porcentaje de positividad de influenza, SE 15, 2018 (en comparación a 2010-2017)



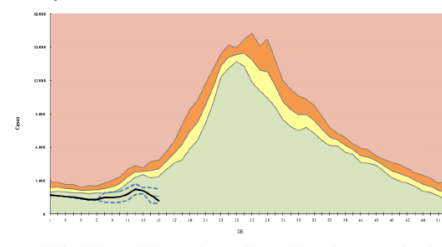
Graph 2. Argentina.SARI cases. Endemic channel, EW 16, 2018 (compared to 2013-2017) / Casos de IRAG. Corredor endémico, SE 16, 2018 (en comparación a 2013-2017)

Gráfico 7. Argentina: Corredor endémico semanal de IRAG. Curva de 2018 hasta SE13. Históricos: 5 años: 2013 a 2017.

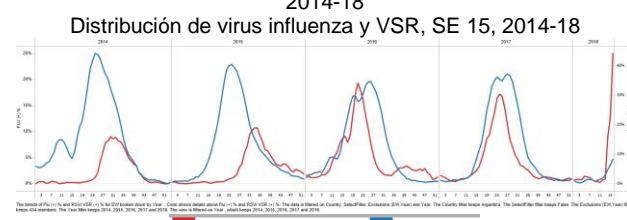


Graph 4. Argentina. Bronchiolitis cases. Endemic channel, EW 16, 2018 (compared to 2013-2017) / Casos de bronquiolitis. Corredor endémico, SE 16, 2018, 2018 (en comparación a 2013-2017)

Gráfico 5. Argentina: Corredor endémico semanal de Bronquiolitis 2018. Curva de casos y estimaciones: hasta la SE15. Total país. Históricos: 5 años: 2013 a 2017.



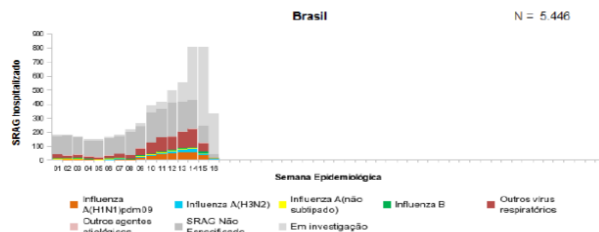
Graph 6. Argentina: Influenza and RSV distribution, EW 15, 2014-18
Distribución de virus influenza y VSR, SE 15, 2014-18



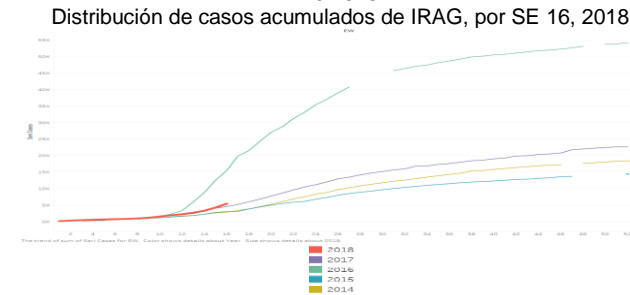
Brazil

- In Brazil, during EW 16, SARI hospitalizations and deaths decreased (Graphs 3, 4), and since the beginning of 2018, among the SARI cases with viral diagnostic results, most have been positive for non-influenza respiratory viruses (Graph 1). The cumulative number of SARI-influenza cases and SARI-influenza deaths were comparable to 2017 and less than the counts reported in 2016 (Graph 5, 6). At the state level, the states of Bahia, Goiás, Mato Grosso do Sul and Paraná reported higher counts of SARI-influenza deaths this season, as compared to last season (Figure 14). During EW 16, 13 states reported higher cumulative SARI cases than the 2017 season (Alagoas, Amazonas, Bahia, Ceará, Distrito Federal, Espírito Santo, Goiás, Matto Grosso, Paraná, Rio de Janeiro, Rio Grande do Norte, Rondônia and Sergipe); and 12 states reported higher cumulative influenza-positive SARI cases than the 2017 season (Alagoas, Amazonas, Bahia, Distrito Federal, Espírito Santo, Goiás, Maranhão, Mato Grosso, Paraná, Rio de Janeiro, Santa Catarina and Sergipe) (Graph 15,16). Among the influenza positive cases reported by the three NICs, influenza A(H3N2) and influenza B have predominated (Graph 11,12). Based upon the RSV data reported by the three NICs, RSV detections have been increasing in the last month (Graph 13). / En Brasil, en la SE 16, las hospitalizaciones y los casos fallecidos por IRAG disminuyeron (Gráficos 3, 4), y desde el inicio de 2018, de los casos de IRAG con resultado de diagnóstico viral, la mayoría ha sido positivo para virus respiratorios distintos de influenza (Gráfico 1). El número acumulado de casos de IRAG por influenza y de casos fallecidos asociados a influenza fueron comparables a 2017 y menores a los recuentos reportados en 2016 (Gráficos 5, 6). A nivel estatal, los estados de Bahía, Goiás, Mato Grosso do Sul y Paraná reportaron mayores recuentos de casos de IRAG fallecidos asociados a influenza (Figura 14). Durante la SE 16, 13 estados reportaron mayores casos acumulados que en la temporada 2017 (Alagoas, Amazonas, Bahia, Ceará, Distrito Federal, Espírito Santo, Goiás, Matto Grosso, Paraná, Rio de Janeiro, Rio Grande do Norte, Rondônia y Sergipe); y 12 estados reportaron mayores casos acumulados de IRAG positivos a influenza que en la temporada 2017 (Alagoas, Amazonas, Bahia, Distrito Federal, Espírito Santo, Goiás, Maranhão, Mato Grosso, Paraná, Rio de Janeiro, Santa Catarina y Sergipe) (Gráficos 15,16). Entre los casos positivos de influenza reportados por los tres NICs, han predominado influenza A(H3N2) e influenza B (Gráficos 11,12). Según los datos reportados de los tres NICs, las detecciones de VSR han aumentado en el último mes (Gráfico 13).

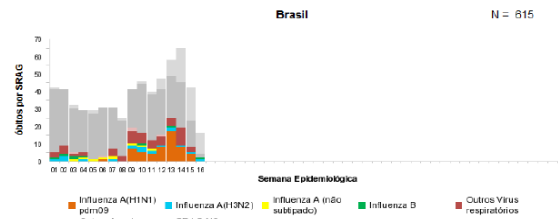
Graph 1. Brazil. SARI-related hospitalizations, by EW 16, 2018
Hospitalizaciones asociadas con IRAG, por SE 16, 2018



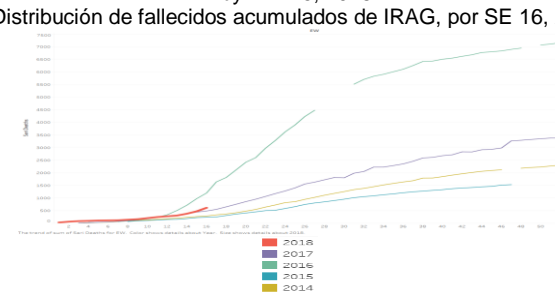
Graph 3. Brazil. Distribution of cumulative SARI-related cases, by EW 16 2018
Distribución de casos acumulados de IRAG, por SE 16, 2018



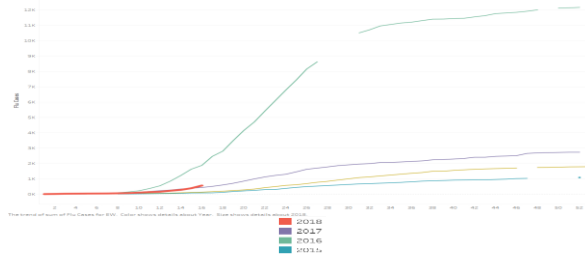
Graph 2. Brazil. SARI-related deaths, by EW 16, 2018
Distribución de fallecidos por IRAG, por SE 16, 2018



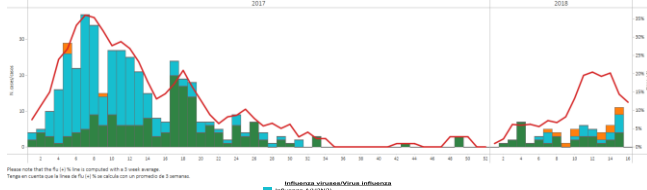
Graph 4. Brazil. Distribution of cumulative SARI-related deaths, by EW 16, 2018
Distribución de fallecidos acumulados de IRAG, por SE 16, 2018



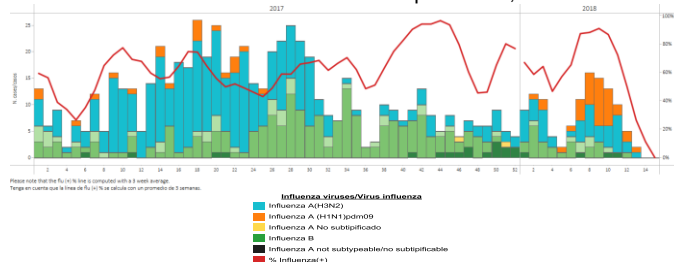
Graph 5. Brazil. Distribution of cumulative flu(+) SARI-related cases, by EW 16, 2018
Distribución de flu(+) casos acumulados de IRAG, por SE 16, 2018



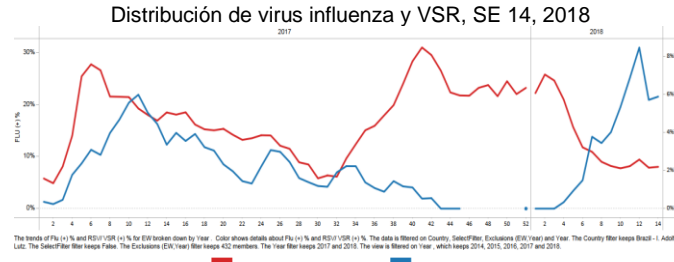
Graph 7. Brazil - NIC IEC. Influenza virus distribution by EW 16, 2018
Distribución de virus influenza por SE 16, 2018



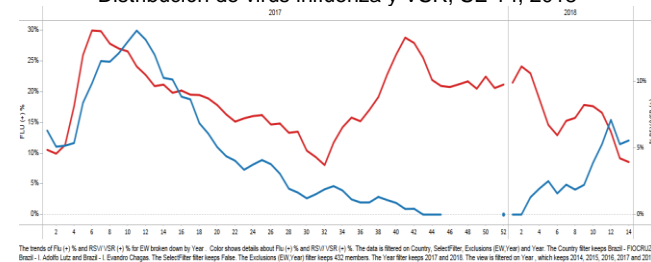
Graph 9. Brazil- NIC FIOCRUZ. Influenza virus distribution by EW 15, 2018
Distribución de virus influenza por SE 15, 2018



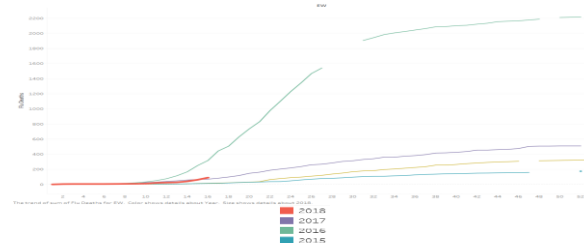
Graph 11. Brazil - NIC Adolfo Lutz: Influenza and RSV distribution, EW 14, 2018
Distribución de virus influenza y VSR, SE 14, 2018



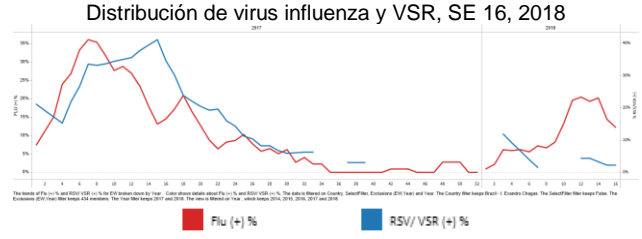
Graph 13. Brazil – All NICs: Influenza and RSV distribution, EW 14, 2018
Distribución de virus influenza y VSR, SE 14, 2018



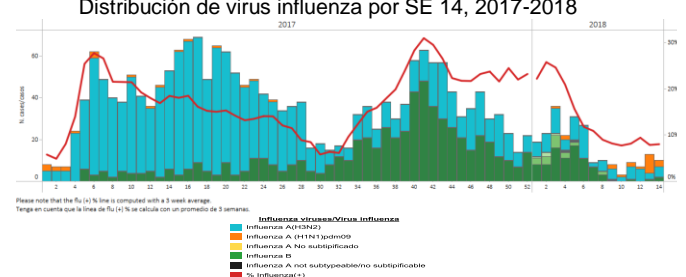
Graph 6. Brazil. Distribution of cumulative flu(+) SARI-related deaths, by EW 16, 2018
Distribución de flu (+) fallecidos acumulados de IRAG, por SE 16, 2018



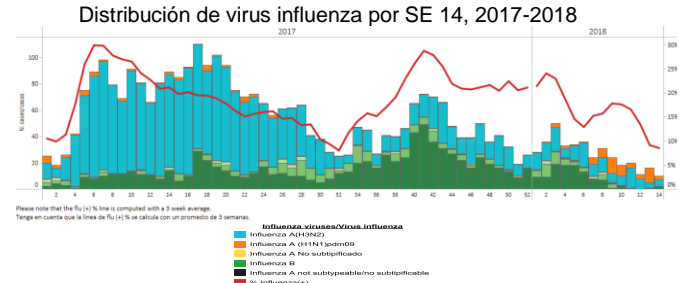
Graph 8. Brazil - NIC IEC: Influenza and RSV distribution, EW 16, 2018
Distribución de virus influenza y VSR, SE 16, 2018



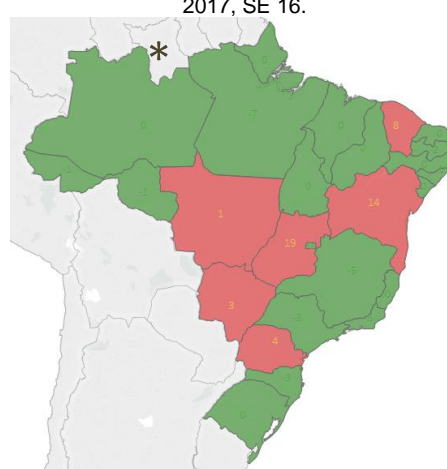
Graph 10. Brazil- NIC Adolfo Lutz. Influenza virus distribution by EW 14, 2017-2018
Distribución de virus influenza por SE 14, 2017-2018



Graph 12. Brazil- All NICs. Influenza virus distribution by EW 14, 2017-2018
Distribución de virus influenza por SE 14, 2017-2018

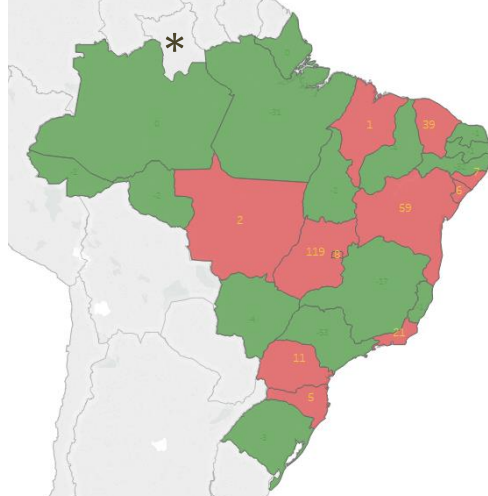


Graph 14. Brazil- SARI Flu Deaths, greater counts than 2017, EW 16.
Fallecidos de IRAG asociados a influenza, mayores recuentos de 2017, SE 16.



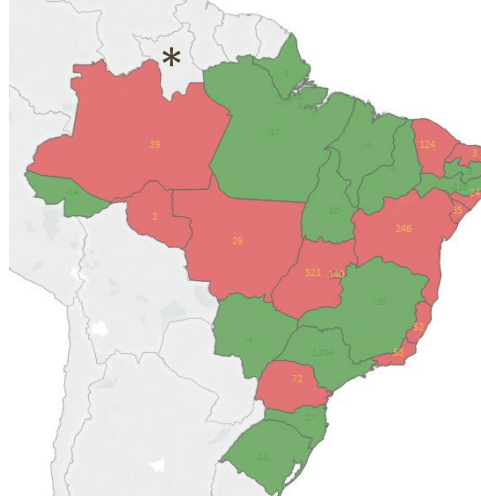
*Roraima did not report this EW; Roraima no se ha reportado esta SE

Graph 15. Brazil- SARI Flu Cases, greater counts than 2017, EW 16.
Casos de IRAG asociados a influenza, mayores recuentos de 2017, SE 16.



*Roraima did not report this EW; Roraima no se ha reportado esta SE

Graph 16. Brazil- SARI Cases, greater counts than 2017, EW 16.
Casos de IRAG, mayores recuentos de 2017, SE 16.

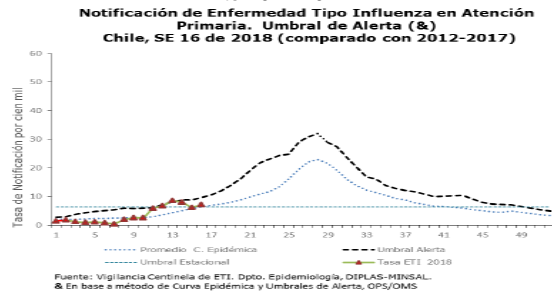


*Roraima did not report this EW; Roraima no se ha reportado esta SE

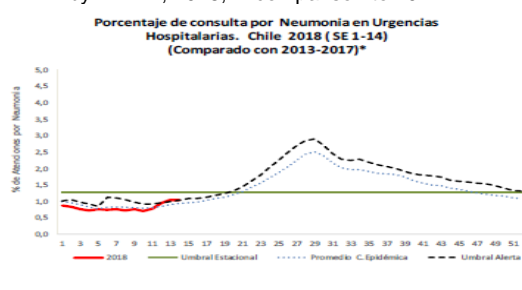
Chile

- During EW 16, at national level, the SARI cases remained elevated as compared to the previous weeks and were above the seasonal threshold levels observed during 2015-2017 for the same period (Graph 2); while ILI rates and pneumonia activity remained at seasonal levels in recent weeks (Graph 1, 3, 8). In EW 16, influenza activity was low and decreased from previous weeks with influenza B predominating (Graphs 4,5); influenza and RSV percent positivity remained at low levels (Graph 6). / Durante la SE 16, a nivel nacional, los casos de IRAG permanecieron elevados en relación a las semanas previas y se ubicaron sobre los niveles estacionales observados durante 2015-2017 para el mismo período (Gráfico 2); en tanto las tasas de ETI y la actividad de neumonía permanecieron a niveles estacionales en semanas recientes (Gráficos 1, 3, 8). En la SE 16, la actividad de influenza fue baja y disminuyó en relación a las semanas previas con predominio de influenza B (Gráficos 4,5); los porcentaje de positividad de influenza y de VSR permanecieron en niveles bajos (Gráfico 6).

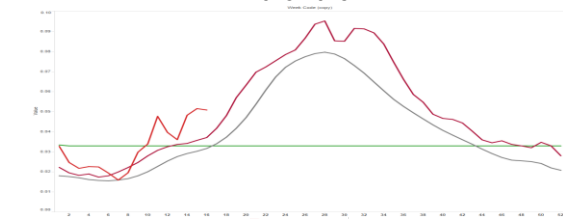
Graph 1. Chile. ILI rate, Alert threshold by EW 16, 2018; in comparison to 2012-2017



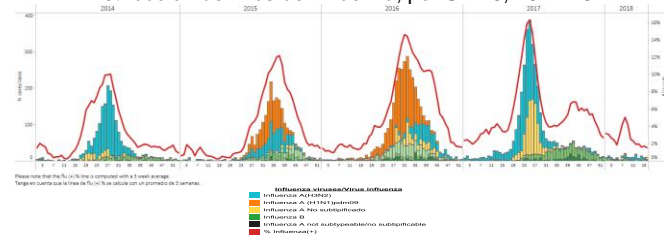
Graph 3. Chile. Percentage of hospital emergency visits for pneumonia, by EW 14, 2018, in comparison to 2012-17



Graph 2. Chile. Percent of SARI cases from all hospitalizations, EW 16, 2015-2018, Porcentaje de casos IRAG por las hospitalizaciones totales, SE 16, 2015-2018

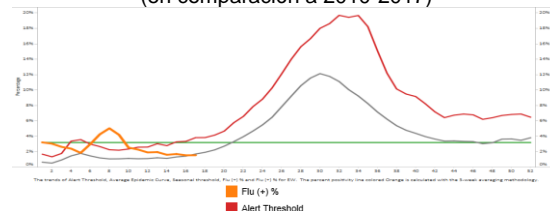


Graph 4. Chile: Influenza virus distribution by EW 16, 2014-18
Distribución de virus de influenza, por SE 16, 2014-18



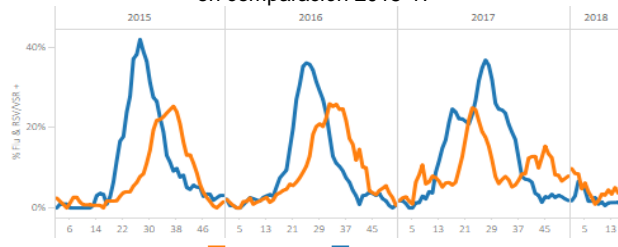
Graph 5. Chile: Baseline for the percent positivity for influenza, EW 16, 2018 (in comparision to 2010-2017)

Línea basal para el porcentaje de positividad de influenza, SE 16, 2018 (en comparación a 2010-2017)



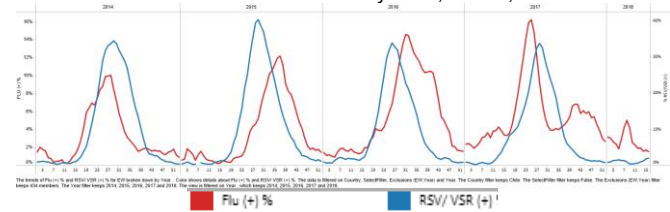
Graph 7. Chile. SARI cases with samples positive for influenza and RSV, EW 16, 2018 in comparison 2015-17

Casos IRAG con muestras positivas por influenza y VSR, SE 16, 2018, en comparación 2015-17



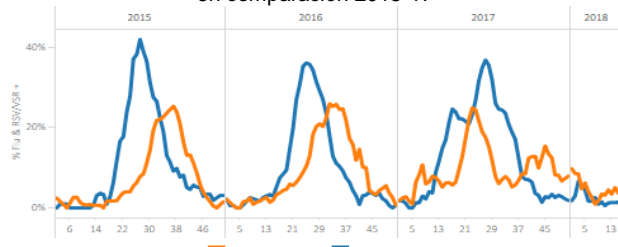
Graph 6. Chile: Influenza and RSV distribution, EW 16, 2014-18

Distribución de virus influenza y VSR, SE 16, 2014-18



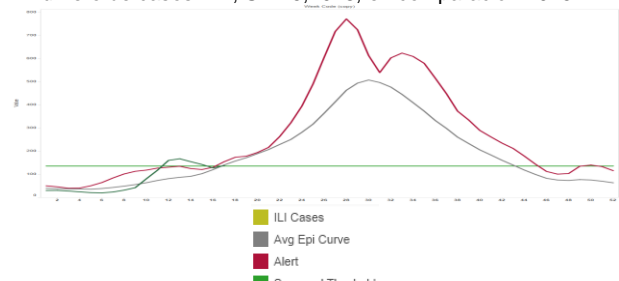
Graph 7. Chile. SARI cases with samples positive for influenza and RSV, EW 16, 2018 in comparison 2015-17

Casos IRAG con muestras positivas por influenza y VSR, SE 16, 2018, en comparación 2015-17



Graph 8. Chile. Number of ILI cases, EW 16, 2018 in comparison 2015-17

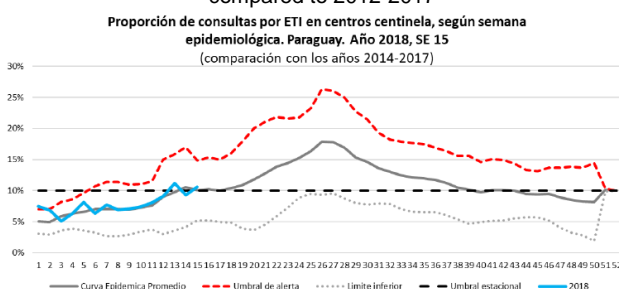
Número de casos ETI, SE 16, 2018, en comparación 2015-17



Paraguay

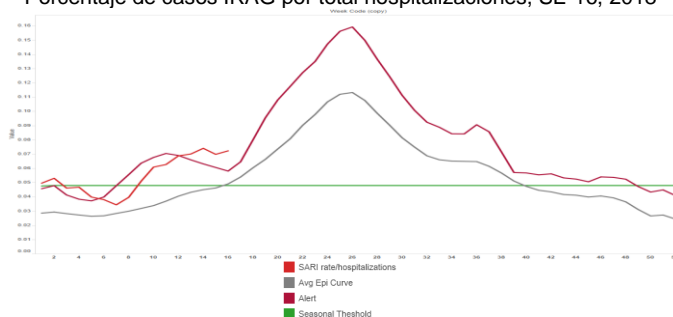
- During EW 16, at national level, the SARI cases increased as compared to the previous weeks and were above the seasonal threshold (Graph 3); while ILI activity remained at seasonal levels (Graph 1). In EW 16, influenza activity was low and increased from previous weeks with influenza B predominating (Graphs 6, 7); influenza percent positivity remained at low levels, while RSV positivity slightly increased (Graph 7). / En la SE 16, a nivel nacional los casos de IRAG aumentaron respecto a las semanas previas y se encontraron por encima del umbral estacional (Gráfico 3), en tanto la actividad de ETI permaneció a niveles estacionales (Gráfico 1). Durante la SE 16, la actividad de influenza fue baja y aumentó en comparación a las semanas anteriores con predominio de influenza B (Gráficos 6, 7); la positividad de influenza permaneció a niveles bajos, en tanto la positividad de VSR aumentó ligeramente (Gráfico 7).

Graph 1. Paraguay: Proportion of ILI consultations, EW 16, 2018 (as compared to 2012-2017)



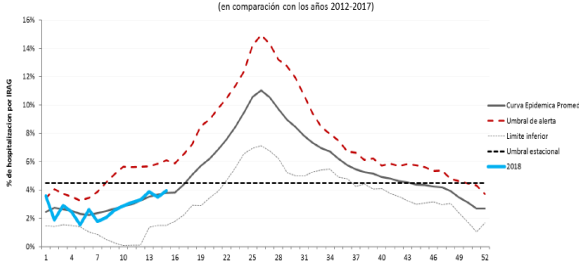
Graph 3. Paraguay: Percent of SARI cases per total hospitalizations, EW 16, 2018

Porcentaje de casos IRAG por total hospitalizaciones, SE 16, 2018



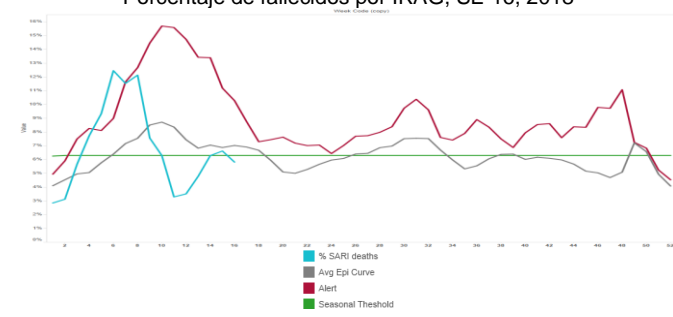
Graph 2. Paraguay: Distribution of SARI cases EW 16, 2018 (as compared to 2012-2017)

Proporción de Hospitalizados por IRAG según semana epidemiológica. Vigilancia Centinela.
Paraguay, 2018 - SE 15
(en comparación con los años 2012-2017)

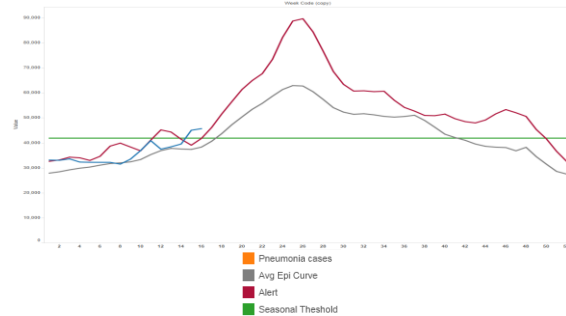


Graph 4. Paraguay: Percent of SARI deaths per total deaths, EW 16, 2018.

Porcentaje de fallecidos por IRAG, SE 16, 2018

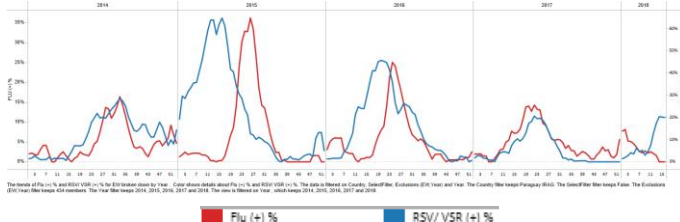


Graph 5. Paraguay: Number of cases for ARI, EW 16, 2018
Número de casos de IRA, SE 16, 2018



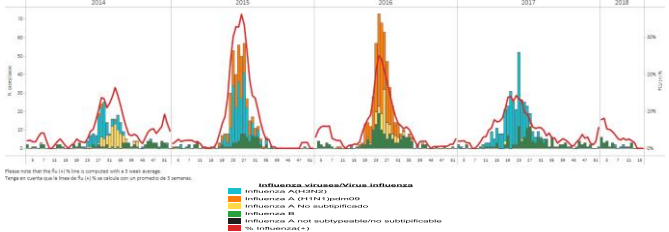
Graph 7. Paraguay IRAG: Influenza and RSV distribution, among SARI cases, EW 16, 2014-18

Distribución de virus influenza y VSR, entre casos IRAG, SE 16, 2014-18



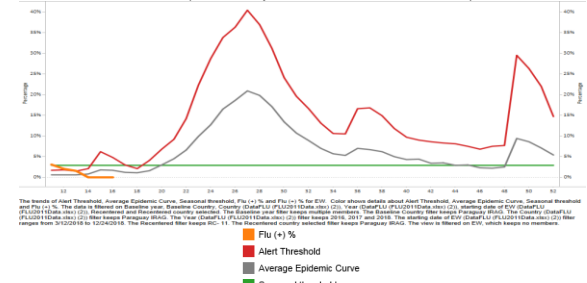
Graph 6. Paraguay IRAG: Influenza virus distribution among SARI cases EW 16, 2014-18

Distribución de virus de influenza entre casos IRAG, SE 16, 2014-18



Graph 8. Paraguay IRAG: Baseline for the percent positivity for influenza, EW 16, 2018 (in comparision to 2010-2017)

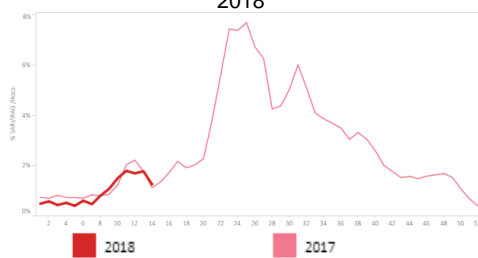
Línea basal para el porcentaje de positividad de influenza, SE 16, 2018 (en comparación a 2010-2017)



Uruguay

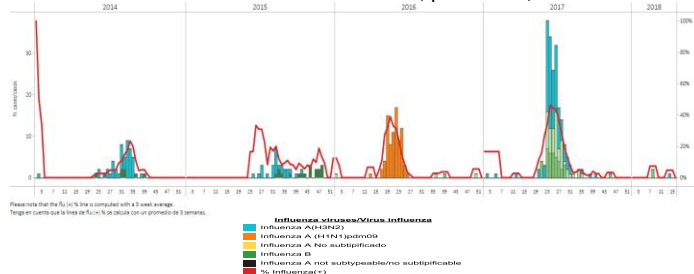
- During EW 16, at national level, the SARI cases decreased as compared to the previous weeks and were at the levels observed during 2017 for the same period (Graph 1). In EW 16, influenza activity was low with influenza B predominating (Graphs 3, 4); and RSV positivity remained at low levels (Graph 2). / En la SE 16, a nivel nacional los casos de IRAG disminuyeron respecto a las semanas previas y se encontraron por debajo de los niveles observados en 2017 para el mismo período (Gráfico 1). Durante la SE 16, la actividad de influenza fue baja con predominio de influenza B (Gráficos 3, 4); la positividad de VSR permaneció a niveles bajos (Gráfico 2).

Graph 1. Uruguay: % SARI cases for total hospitalizations, EW 16, 2018; porcentaje de casos IRAG por todos hospitalizaciones, SE 16, 2018



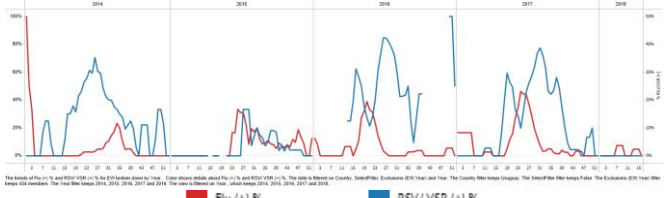
Graph 3. Uruguay: Influenza virus distribution by EW 16, 2018

Distribución de virus de influenza, por SE 16, 2018



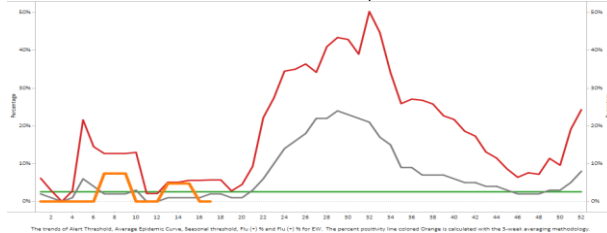
Graph 2. Uruguay: Influenza and RSV distribution, EW 16, 2014-18

Distribución de virus influenza y VSR, SE 16, 2014-18



Graph 4. Uruguay: Percent positivity for influenza, EW 16, 2018 (in comparision to 2010-2017)

Porcentaje de positividad de influenza, SE 16, 2018 (en comparación a 2010-2017)

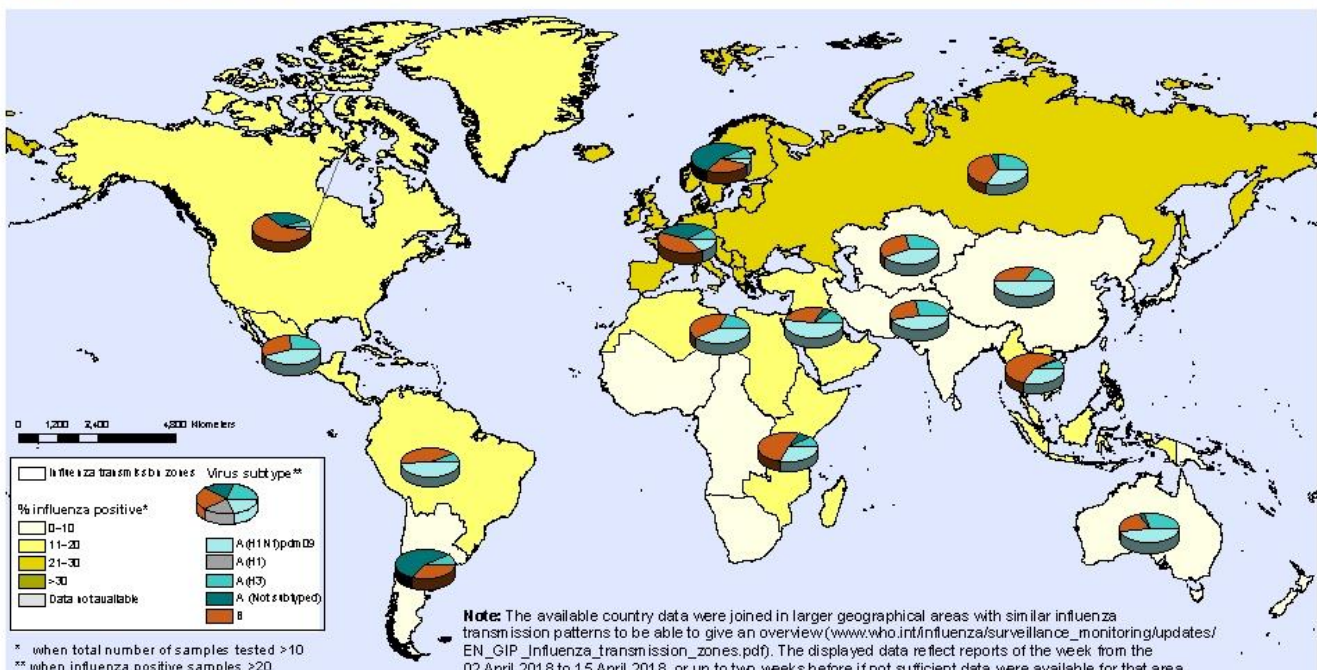


Influenza activity returned to inter-seasonal levels in most of the countries in the temperate zone of the northern hemisphere except for Eastern Europe. In the temperate zone of the southern hemisphere, influenza activity remained below the seasonal thresholds. Worldwide, seasonal influenza subtypes A and B accounted for approximately the same proportion of influenza detections. / La actividad de influenza retornó a niveles interestacionales en la mayoría de los países de la zona templada del hemisferio norte, con excepción de Europa Oriental. En la zona templada del hemisferio sur, la actividad de influenza permaneció por debajo de los umbrales estacionales. En todo el mundo, influenza A e influenza B representaron una proporción similar de detecciones de influenza.

National Influenza Centres (NICs) and other national influenza laboratories from 113 countries, areas or territories reported data to FluNet for the time period from 2 April to 15 April 2018. The WHO GISRS laboratories tested more than 137071 specimens during that time period. 21639 were positive for influenza viruses, of which 12034 (55.6%) were typed as influenza A and 9605 (44.4%) as influenza B. Of the sub-typed influenza A viruses, 3077 (58.2%) were influenza A(H1N1)pdm09 and 2211 (41.8%) were influenza A(H3N2). Of the characterized B viruses, 917 (88.7%) belonged to the B-Yamagata lineage and 117 (11.3%) to the B-Victoria lineage. / Los Centros Nacionales de Influenza (NICs) y otros laboratorios nacionales de influenza de 113 países, áreas o territorios, reportaron datos a FluNet en el período del 2 de abril a 15 de abril de 2018. Los laboratorios de la OMS GISRS realizaron pruebas a más de 137071 muestras durante ese período. 21639 tuvieron resultado positivo para virus influenza, de los cuales 12034 (55,6%) fueron tipificados como influenza A y 9605 (44,4%) como influenza B. De los virus influenza A subtipificados, 3077 (58,2%) fueron influenza A(H1N1)pdm09 y 2211 (41,8%) fueron influenza A(H3N2). De los virus influenza B caracterizados, 917 (88,7%) fueron del linaje B-Yamagata y 117 (11,3%) fueron del linaje B-Victoria.

**Percentage of respiratory specimens that tested positive for influenza
By influenza transmission zone**

Status as of 27 April 2018



The boundaries and names shown and the designations used on this map do not imply the expression of any opinion whatsoever on the part of the World Health Organization concerning the legal status of any country, territory, city or area or of its authorities, or concerning the delimitation of its frontiers or boundaries. Dotted and dashed lines on maps represent approximate border lines for which there may not yet be full agreement.

Data Source: Global Influenza Surveillance and Response System (GISRS), FluNet (www.who.int/flunet).



ACRONYMS

ARI	Acute Respiratory Infection
CARPHA	Caribbean Public Health Agency
CENETROP	Centro de Enfermedades Tropicales (Santa Cruz, Bolivia)
EW	Epidemiological Week
ILI	Influenza-like illness
INLASA	Instituto Nacional de Laboratorios de Salud (La Paz, Bolivia)
INS	Instituto Nacional de Salud
ORV	Other respiratory viruses
SARI	Severe acute respiratory infection
SEDES	Servicio Departamental de Salud (Bolivia)
ICU	Intensive Care Unit
RSV	Respiratory Syncytial Virus

ACRÓNIMOS

CARPHA	Agencia de Salud Pública del Caribe/Caribbean Public Health Agency
CENETROP	Centro de Enfermedades Tropicales (Santa Cruz, Bolivia)
ETI	Enfermedad Tipo influenza
INLASA	Instituto Nacional de Laboratorios de Salud (La Paz, Bolivia)
INS	Instituto Nacional de Salud
IRA	Infección Respiratoria Aguda
IRAG	Infección Respiratoria Aguda grave
OVR	Otros virus respiratorios
SE	Semana epidemiológica
SEDES	Servicio Departamental de Salud (Bolivia)
UCI	Unidad de Cuidados Intensivos
VSR	Virus Sincitrial Respiratorio